

UNIVERSIDAD DE GUAYAQUIL FACULTAD DE INGENIERÍA QUÍMICA CARRERA INGENIERÍA QUÍMICA

TRABAJO DE TITULACIÓN PREVIO A LA OBTENCIÓN DEL TÍTULO DE: INGENIERO QUÍMICO

TEMA:

'DETERMINACIÓN DE LA EFICIENCIA DEL *OPUNTIA FICUS-INDICA* COMO BIOCOAGULANTE PARA EL TRATAMIENTO DE AGUAS SUPERFICIALES DEL RÍO BULUBULU''

AUTORES:

FREDDY GEOVANNY ATUPAÑA GUAMÁN

JESSICA ALEXANDRA GUACHO QUIROZ

DIRECTOR DE PROYECTO DE TITULACIÓN

ING. LUIS BONILLA ABARCA, MSC

GUAYAQUIL – ECUADOR

2018-2019



UNIVERSIDAD DE GUAYAQUIL FACULTAD DE INGENIERÍA QUÍMICA CARRERA DE INGENIERÍA QUÍMICA



UNIDAD DE TITULACIÓN







REPOSITORIO NACIONAL EN CIENCIA Y TECNOLOGÍA			
FICHA DE REGISTRO DE TESIS/TRABAJO DE GRADUACIÓN			
TÍTULO Y SUBTÍTULO:	´´DETERMINACIÓN DE LA EFICIENCIA DEL OPUNTIA		
	FICUS-INDICA COMO	BIOCOAGULANTI	E PARA EL
	TRATAMIENTO DE AGU	JAS SUPERFICIAI	LES DEL RÍO
	BULUBULU''		
AUTOR(ES)	ATUPAÑA GUAMA	ÁN FREDDY GEOV	VANNY
(apellidos/nombres):	GUACHO QUIROZ JESSICA ALEXANDRA		
REVISOR(ES)/TUTOR(ES)	ING. LUIS BONILLA ABARCA, MSC.		
(apellidos/nombres):			
INSTITUCIÓN:	Universidad de Guayaquil		
UNIDAD/FACULTAD:	Facultad de Ingeniería Química		
MAESTRÍA/ESPECIALIDAD:			
GRADO OBTENIDO:			
FECHA DE PUBLICACIÓN:	Abril/2019	No. DE PÁGINAS:	100
FECHA DE I OBLICACION.	Adili/2019	No. DE l'AGINAS.	100
ÁREAS TEMÁTICAS:	Hidrología/ Calidad de las aguas		
PALABRAS CLAVES/	Biocoagulante, Opuntia F	<i>licus-Indica</i> , tratam	iento de agua,
KEYWORDS:	compuestos químicos, aguas superficiales, análisis		
	fisicoquímicos, análisis microbiológico.		

RESUMEN/ABSTRACT (150-250 palabras):

El presente trabajo de investigación tuvo como objetivo determinar la eficiencia del *Opuntia Ficus-Indica* como biocoagulante para el tratamiento de aguas superficiales del río BuluBulu, donde se comprobó que estos compuestos orgánicos pueden reemplazar a los compuestos químicos normalmente usados en el tratamiento de agua. La recolección de la muestra de agua se realizó siguiendo lo establecidos en la Norma INEN 2 169:98 y INEN 2 176:1998, luego se realizaron análisis fisicoquímicos y microbiológicos antes y después del tratamiento con el coagulante natural. Para la obtención del biocoagulante se procedió a realizar las siguientes operaciones: selección, lavado, pelado, cortado, secado, molienda, tamizado, extracción solido-liquido, por ultimo secado y pulverizado. Concluyendo con la determinación de la eficiencia promedio de la aplicación del biocoagulante de la penca de tuna (*Opuntia Ficus-Indica*) en el tratamiento de agua de rio donde se obtuvo un valor inicial de turbiedad de 47,6 NTU, color 40 Pt/Cu y un pH 7.49 y un valor final de turbiedad de 1.80 NTU, Color 14 Pt/Cu y un pH 6,97, alcanzando un porcentaje de remoción de turbiedad 96.21% y color 65%.

ADJUNTO PDF:	SI	NO
CONTACTO CON	Teléfono:	E-mail:
AUTOR/ES:	0968437326	geovanny21996@gmail.com
	0993263034	guacho_quiroz@hotmail.com
CONTACTO CON LA	Nombre: Universidad	l de Guayaquil – Facultad de Ingeniería
INSTITUCIÓN:	Química	
	Teléfono: 04-229-2949	
	E-mail: www.fiq.ug.ed	lu.ec

ANEXO 6



FACULTAD DE INGENIERIA QUÍMICA CARRERA DE INGENIERIA QUÍMICA UNIDAD DE TITULACIÓN

CERTIFICADO PORCENTAJE DE SIMILITUD

Habiendo sido nombrado ING.LUIS BONILLA ABARCA, MSC., tutor del trabajo de titulación, certifico que el presente proyecto ha sido elaborado por FREDDY GEOVANNY ATUPAÑA GUAMÁN, C.C.: 0604911495 y JESSICA ALEXANDRA GUACHO QUIROZ, C.C.: 0951564624, con mi respectiva supervisión como requerimiento parcial para la obtención del título de INGENIERO QUÍMICO.

Se informa que el proyecto: "DETERMINACIÓN DE LA EFICIENCIA DEL *OPUNTIA FICUS-INDICA* COMO BIOCOAGULANTE PARA EL TRATAMIENTO DE AGUAS SUPERFICIALES DEL RÍO BULUBULU", ha sido orientado durante todo el periodo de ejecución en el programa antiplagio (URKUND) quedando el 2% de coincidencias.



https://secure.urkund.com/view/47225293-

 $\underline{518156783240} \#_{1} \\ \underline{1bKLVayijay0DGy1DE20DE2jNVRKs5Mz8tMy0xOzEtOVbIy0DMwNDK0NDMzMzayNDMytbAwMa8FA}$

<u>A</u>==

ING. LUIS BONILLA ABARCA, MSC. TUTOR

ANEXO 12



FACULTAD DE INGENIERIA QUÍMICA CARRERA DE INGENIERIA QUÍMICA UNIDAD DE TITULACIÓN

LICENCIA GRATUITA INTRANSFERIBLE Y NO EXCLUSIVA PARA EL USO NO COMERCIAL DE LA OBRA CON FINES NO ACADÉMICOS

Nosotros, ATUPAÑA GUAMÁN FREDDY GEOVANNY, C.C.: 0604911495y GUACHO QUIROZ JESSICA ALEXANDRA, con C.C.: 0951564624, certificamos que los contenidos desarrollados en este trabajo de titulación, cuyo título es "DETERMINACIÓN DE LA EFICIENCIA DEL *OPUNTIA FICUS-INDICA* COMO BIOCOAGULANTE PARA EL TRATAMIENTO DE AGUAS SUPERFICIALES DEL RÍO BULUBULU", son de nuestra absoluta propiedad y responsabilidad Y SEGÚN EL Art. 114 del CÓDIGO ORGÁNICO DE LA ECONOMÍA SOCIAL DE LOS CONOCIMIENTOS, CREATIVIDAD E INNOVACIÓN*, autorizamos el uso de una licencia gratuita intransferible y no exclusiva para el uso no comercial de la presente obra con fines no académicos, en favor de la Universidad de Guayaquil, para que haga uso del mismo, como fuera pertinente

*CÓDIGO ORGÁNICO DE LA ECONOMÍA SOCIAL DE LOS CONOCIMIENTOS, CREATIVIDAD E INNOVACIÓN (Registro Oficial n. 899 - Dic./2016) Artículo 114.- De los titulares de derechos de obras creadas en las instituciones de educación superior y centros educativos.- En el caso de las obras creadas en centros educativos, universidades, escuelas politécnicas, institutos superiores técnicos, tecnológicos, pedagógicos, de artes y los conservatorios superiores, e institutos públicos de investigación como resultado de su actividad académica o de investigación tales como trabajos de titulación, proyectos de investigación o innovación, artículos académicos, u otros análogos, sin perjuicio de que pueda existir relación de dependencia, la titularidad de los derechos patrimoniales corresponderá a los autores. Sin embargo, el establecimiento tendrá una licencia gratuita, intransferible y no exclusiva para el uso no comercial de la obra con fines académicos.

ATUPAÑA GUAMÁN FREDDY GEOVANNY

C.C.: 0604911495

C.C.: 0951564624

GUACHO QUIROZ JESSICA ALEXANDRA

C.C., 0931304024

AGRADECIMIENTO

Agradecido con Dios por darme la vida y salud para poder cumplir uno de mis sueños, por ser mí guía a lo largo de esta carrera y en momentos muy duros, porque gracias a su voluntad estoy culminando uno de los objetivos más importantes.

A mis queridos padres José Atupaña y Juana Guamán, por su esfuerzo, entrega y sacrificio por dar el mejor legado que es la educación, por haberme inculcado valores y principios en el trascurso de mi vida.

A mi hermana y a todos mis tíos por haber estado en todo momento con su ayuda incondicional, quienes con sus conejos sabios me brindaron apoyo para no rendir.

A Noemí Copa por ser la persona más importante de mi vida, que me ha apoyado en momentos muy duros, quien con sus palabras fue parte para poder llegar a culminar esta carrera.

A la Universidad Guayaquil en especial a la Carrera de Ingeniería Química por abrir las puertas y todos mis docentes por impartir sus conocimientos, al Ing. Luis Bonilla Abarca y a la Dra. Mirella Bermeo, por brindar sus conocimientos y apoyo para poder terminar con éxito este trabajo de titulación.

Freddy Geovanny Atupaña Guamán

AGRADECIMIENTO

Agradezco a Dios por ser mi guía y acompañarme en el transcurso de mi vida, ser el apoyo y fortaleza en aquellos momentos de dificultad y debilidad, por darme, salud, sabiduría y conocimiento para culminar con éxito mis metas propuestas.

A mis padres, Luis Guacho y Elena Quiroz por confiar y creer en mí, por los consejos, valores y principios que me han inculcado.

A mi querido Miguel Alvarado por ser el apoyo incondicional en mi vida, que, con su amor y respaldo, me ayuda alcanzar mis objetivos.

A mis hermanos, tías, abuelas, por llenarme de alegría día tras día y por brindarme su apoyo incondicional.

A mis amigas Eliza, María, Carmen a quienes estimo tanto, gracias por todo el apoyo brindado.

Agradezco al Ing. Luis Bonilla Abarca, Msc y a la Dra. Mirella Bermeo, que gracias a su conocimiento y ayuda pude concluir con éxito el trabajo de investigación.

Un total agradecimiento a todas y cada una de las personas que han conformado parte en mi formación profesional.

Jessica Alexandra Guacho Quiroz

DEDICATORIA

A Dios por darme fortaleza y sabiduría en este proceso de vida para poder vencer y salir victorioso en las dificultades que se presentaron en lo largo del camino.

A mis padres en especial a mi madre por estar con su ayuda incondicional en todo momento, por su cariño, su apoyo, su dedicación y empeño por ayudarme a ser una persona de bien. Por tanto, esfuerzo para alcanzar este triunfo, y sobre todo por ser ese ejemplo de vida que hizo de mí la persona que soy ahora. A usted le debo este logro y con usted la comparto.

A cada uno de mis tíos por su apoyo, porque cada uno de ustedes regaron un granito de arena en mi vida para poder llegar a lograr a este objetivo.

Freddy Geovanny Atupaña Guamán

DEDICATORIA

A Dios, por darme la vida y estar siempre conmigo, guiándome en mí camino.

A mis Padres, el esfuerzo y las metas alcanzadas, refleja la dedicación, el amor que invierten ellos en nosotros. Gracias a mis padres soy quien soy hoy en día, orgullosamente y con la cara muy en alto agradezco a Luis Alfredo Guacho y Elena Quiroz Cuvi, mi mayor inspiración, gracias a ellos he concluido con mi mayor meta.

A mi hijo Adrián y a mi hermana Rosa, que son mi principal motivación para seguir adelante, son ustedes la razón de mis esfuerzos del presente y el mañana.



UNIVERSIDAD DE GUAYAQUIL FACULTAD DE INGENIERÍA QUÍMICA CARRERA DE INGENIERÍA QUÍMICA



Autores:

Atupaña Guamán Freddy Geovanny Guacho Quiroz Jessica Alexandra

Tutor:

ING. LUIS BONILLA ABARCA, MSC

RESUMEN

El presente trabajo de investigación tuvo como objetivo determinar la eficiencia del *Opuntia Ficus-Indica* como biocoagulante para el tratamiento de aguas superficiales del río Bulubulu, donde se comprobó que estos compuestos orgánicos pueden reemplazar a los compuestos químicos normalmente usados en el tratamiento de agua. La recolección de la muestra de agua se realizó siguiendo lo establecidos en la Norma INEN 2 169:98 y INEN 2 176:1998, luego se realizaron análisis fisicoquímicos y microbiológicos antes y después del tratamiento con el coagulante natural. Para la obtención del biocoagulante se procedió a realizar las siguientes operaciones: selección, lavado, pelado, cortado, secado, molienda, tamizado, extracción solido-liquido, por ultimo secado y pulverizado. Concluyendo con la determinación de la eficiencia promedio de la aplicación del biocoagulante de la penca de tuna (*Opuntia Ficus-Indica*) en el tratamiento de agua de rio donde se obtuvo un valor inicial de turbiedad de 47.6 NTU, color 40 Pt/Cu y un pH 7.49

y un valor final de turbiedad de 1.80 NTU, Color 14 Pt/Cu y un pH 6,97, alcanzando un porcentaje de remoción de turbiedad 96.21% y color 65%.

Palabras clave: Biocoagulante, *Opuntia Ficus-Indica*, tratamiento de agua, compuestos químicos, aguas superficiales, análisis fisicoquímicos, análisis microbiológico.



UNIVERSIDAD DE GUAYAQUIL FACULTAD DE INGENIERÍA QUÍMICA CARRERA DE INGENIERÍA QUÍMICA



Authors:

Atupaña Guamán Freddy Geovanny Guacho Quiroz Jessica Alexandra

Advisor:

ING. LUIS BONILLA ABARCA, MSC

ABSTRACT

The objective of this research was to determine the efficiency of OpuntiaFicus-Indica as a biocoagulant for the treatment of surface waters of the Bulubulu River, where it was proved that these organic compounds can replace the chemical compounds normally used in water treatment. The collection of the water sample was carried out following the provisions of the Standard INEN 2 169: 98 and INEN 2 176: 1998, then physicochemical and microbiological analyzes were carried out before and after the treatment with the natural coagulant. To obtain the biocoagulant, the following operations were carried out: selection, washing, peeling, cutting, drying, grinding, sieving, solid-liquid extraction, finally drying and pulverizing. Concluding with the determination of the average efficiency of the application of the biocoagulant of the prickly pear (OpuntiaFicus-Indica) in the treatment of river water where an initial turbidity value of 47.6 NTU was obtained, color 40 Pt / Cu and a pH 7.49 and a final turbidity value of 1.80 NTU, Color 14 Pt / Cu and a pH 6.97, reaching a percentage of removal of turbidity 96.21% and color 65%. Key words: Biocoagulant, OpuntiaFicus-Indica, water treatment, chemical compounds, surface water.

INDICE DE CONTENIDO

CERTIFICADO PORCENTAJE DE SIMILITUD	IV
LICENCIA GRATUITA INTRANSFERIBLE Y NO EXCLUSIVA	V
AGRADECIMIENTO	VI
AGRADECIMIENTO	VII
DEDICATORIA	VIII
DEDICATORIA	IX
RESUMEN	X
ABSTRACT	XII
INTRODUCCIÓN	11
1. CAPÍTULO I	13
1.1 EL PROBLEMA	13
1.1.1 Planteamiento del problema	13
1.2 FORMULACIÓN Y SISTEMATIZACIÓN DE LA INVESTIGACIÓN	14
1.2.1 Formulación del problema de investigación	14
1.2.2 Sistematización del problema	15
1.3 JUSTIFICACIÓN DE LA INVESTIGACIÓN	15
1.3.1 Justificación teórica	15
1.3.2 Justificación metodológica	16
1.3.3 Justificación práctica	16

1.4 O	BJETIVOS DE LA INVESTIGACIÓN	17
1.4.1	Objetivo general	17
1.4.2	Objetivo especifico	17
1.5 D	ELIMITACIÓN DE LA INVESTIGACIÓN	18
1.5.1	Delimitación temporal	18
1.5.2	Delimitación espacial	18
1.5.3	Delimitación del contenido	20
1.6 H	IPÓTESIS	20
1.6.1	Variable independiente	20
1.6.2	Variable dependiente	20
1.6.1	Operacionalización de las variables	21
2. CA	PÍTULO II	23
2.1 MAI	RCO DE REFERENCIA	23
2.2 Mar	co Teórico	23
2.2.1	Гuna (Opuntia ficus-indica)	23
2.2.	1.1 Clasificación taxonomía	24
2.2.	1.2 Clasificación científica	25
2.2.	1.3 Característica morfológica	26
2.2.	1.6 El mucílago del Opuntia ficus-indica	28
2.2.	1.7 Composición química del mucílago	28

2.2.1.8 Mucilago como agente depurador	29
2.2.1.9 Usos y aplicaciones	29
2.2.2 Biocoagulante	30
2.2.3 Coagulación-floculación	30
2.2.3.1 Coagulación	30
2.2.3.2 Floculación	31
2.2.3.3 Mecanismo de coagulación	31
2.2.3.4 Neutralización de cargas por adsorción	33
2.2.3.5 Mecanismo de barrido	34
2.2.3.6 Factores que influyen en la Floculación-Coagulación	34
2.2.3.7 Principales coagulantes	35
2.2.3.7.1 Coagulantes metálicos	35
2.2.4 Mecanismo de acción coagulación/floculación del mucilago <i>Op</i>	untia Ficus-
Indica	36
2.2.5 Agua superficial	38
2.2.6 Parámetros de control de la calidad de agua	38
2.2.6.1 Características físicas	39
2.2.6.2 Características químicas	40
2.2.6.3 Características biológicas	41
2.3 MARCO CONCEPTUAL	42

2.4 MARCO CONTEXTUAL	43
2.4.1 Coagulantes utilizados en el Ecuador	43
2.4.2 Producción en el Ecuador	44
2.4.3 Producción en la región sierra norte del Ecuador	44
2.4.4 Tipo de tuna en Ecuador	45
3 CAPÍTULO III	47
3.1 Metodología de la investigación	47
3.2 Materiales y equipos	47
3.3 Diseño de la investigación	48
3.3.1 Obtención del biocoagulante de la penca de tuna	48
3.3.2 Evaluación del poder del biocoagulante	49
3.3.3 Preparación de la solución madre	49
3.3.4 Prueba de Jarras	49
3.4 Toma de muestra	51
3.4.2 Normas aplicadas	51
3.4.2.1 Para realizar la caracterización de muestra	52
4 CAPÍTULO IV	53
4.1 Resultados	53
4.1.1 Selección de dosis óptima del coagulante de las pecas de tuns	a (<i>Opuntia Ficus</i>
Indica	53

4.1.1.1 pH después del tratamiento con coagulante de Opuntia Ficus	s-Indica55
4.2 Resultados utilizado con el coagulante de sulfato de aluminio a las n	nismas
dosificaciones.	56
4.2.1pH después del tratamiento con coagulante de Sulfato de Aluminio	58
4.3 Comparación de la eficiencia entre el biocoagulante de Opuntia ficu	s Indica y el
coagulante de sulfato de aluminio	59
4.4 Resultados microbiológicos	60
4.5 Eficiencia de los parámetros de estudio con el uso del biocoagulante	en el río
Bulubulu	62
4.6 Análisis de Resultado	63
5. CAPÍTULO V	66
5.1 Conclusiones	66
5.2 Recomendaciones	68
5.3 Abreviatura	69
5.4 Bibliografía	70
5.5 Anexos	75
Anexo A: Selección de dosis óptima del coagulante de las pecas de tuna	(Opuntia
Ficus Indica).	75
Anexos R fotografías	79

ÍNDICE DE TABLAS

Tabla 1 Operacionalización de la variable	21
Tabla 2 Clasificación Taxonomía	24
Tabla 3 Descripción completa de la clasificación científica	25
Tabla 4 Clasificación de los contaminantes que existe en el agua	38
Tabla 5 Características físicas del agua	39
Tabla 6 Características químicas del agua	40
Tabla 7 Características microbiológicas	41
Tabla 8 Materiales y equipos	47
Tabla 9 Parámetros para la caracterización de la muestra	52
Tabla 10 Dosis optima del biocoagulante de Opuntia Ficus Indica	53
Tabla 11 Porcentaje de remoción de turbiedad y color del mejor test de jarra	as con el
coagulante de Opuntia Ficus Indica	54
Tabla 12 Variación del pH antes y después de realizar el tratamiento con el	biocoagulante
de Opuntia Ficus-Indica	55
Tabla 13 Dosis óptima del Coagulante de Sulfato de Aluminio	56
Tabla 14 Porcentaje de remoción de color y turbidez del mejor test de jarras	s usando solo
Sulfato de Aluminio	57
Tabla 15 Variación del pH antes y después del tratamiento del coagulante de	Sulfato de
Aluminio	58
Tabla 16 Coliformes fecales en agua de río Bulubulu	60
Tabla 17 Coliformes fecales en el agua tratada con el Biocoagulante de Opu	ntia Ficus-
Indica	61

Tabla 18 Coliformes totales en agua de río Bulubulu	
Tabla 19 Coliformes totales en el agua tratada con el Biocoagulante de Opuntia Ficus-	
Indica 61	
Tabla 20 Determinación de la eficiencia de los parámetros físico-químicos y microbiológico	S
con el uso del biocoagulante en el agua del río Bulubulu	
Tabla 21 Resultados en busca de la dosis óptima de biocoagulante de las pecas de tuna	
(Opuntia Ficus Indica). (Primer test de jarras)	
Tabla 22 Porcentaje de remoción de turbiedad y color del primer test de jarras con el	
biocoagulante de Opuntia Ficus Indica	
Tabla 23 Resultados en busca de la dosis óptima de biocoagulante de las pecas de tuna	
(Opuntia Ficus Indica). (segundo test de jarras)	
Tabla 24 Porcentaje de remoción de turbiedad y color del primer test de jarras con el	
biocoagulante de Opuntia Ficus Indica78	

ÍNDICE DE FIGURAS

Figura 1 Ubicación de la Facultad de Ingeniería Química	19
Figura 2 Ubicación del Rio BuluBulu	19
Figura 3 Tuna (Opuntia ficus-indica)	23
Figura 4 Tallo (Opuntia ficus-indica)	26
Figura 5 Flores (Opuntia ficus-indica)	26
Figura 6 Fruto (Opuntia ficus-indica)	27
Figura 7 Hojas (Opuntia ficus-indica)	27
Figura 8Esquema propuesta del mucilago de Opuntia Ficus Indica	28
Figura 9 Fuerza de Atracción de Van del Walls	32
Figura 10 Teoría de doble capa eléctrica	33
Figura 11 Ácido poligalacturónico	37
Figura 12 Diagrama de Flujo de Elaboración del Biocoagulante Opuntia Fi	cus-Indica42
Figura 13 Provincias donde se producen tunas	44
Figura 14Tuna Silvestre	45
Figura 15 Amarilla con espinas	46
Figura 16 Tuna blanca	46
Figura 17 Amarilla sin espina o de Castilla	46
Figura 18 Coagulante de penca de tuna (Opuntia ficus-indica)	49
Figura 19 Equipo de test de jarra del laboratorio de agua	50
Figura 20 Ubicación del Rio BuluBulu	51

ÍNDICE DE GRÁFICAS

Gráfica 1Concentración de coagulante y % remoción de color y turbiedad	54
Gráfica 2Comparación de la variación del pH inicial y final al añadir el coag	ulante de
Opuntia Ficus-Indica.	55
Gráfica 3 Concentración de coagulante y porcentaje de remoción de color y t	urbidez57
Gráfica 4 Comparación de la variación del pH antes y después de añadir el co	agulante de
Sulfato de Aluminio.	58
Gráfica 5 Comparación de remoción de turbiedad entre el sulfato de alumini	o y el
biocoagulante de Opuntia ficus Indica (tuna)	59
Gráfica 6 Comparación de remoción de turbiedad entre el sulfato de aluminic	y el
biocoagulante de Opuntia ficus Indica (tuna)	59
Gráfica 7 Comparación de variedad de pH entre el sulfato de aluminio y el bi	ocoagulante
de Opuntia ficus Indica (tuna)	60
Gráfica 8 Determinación de la eficiencia de los parámetros físico-químicos y	
microbiológicos con el uso del biocoagulante en el agua del río Bulubulu	62

ÍNDICE DE FOTOGRAFÍA

Fotografía 1 Selección de pencas	79
Fotografía 2 Pelado de pencas	79
Fotografía 3 Cortado de penca	79
Fotografía 4 Secado de penca	79
Fotografía 5 Molienda	80
Fotografía 6 Tamizado de la penca	80
Fotografía 7 Extracción de la pigmentación	80
Fotografía 8 Coagulante de penca	80
Fotografía 9 Solución madre	81
Fotografía 10 Turbidímetro HACH 2100P	81
Fotografía 11 Colorímetro HACH 890	81
Fotografía 12 pH metro	82
Fotografía 13 Agua de río antes y después del tratamiento con el coagulante Op	ountia Ficus
Indica	82
Fotografía 14 Formación de Floc al añadir el coagulante	83
Fotografía 15 Análisis fisicoquímico de la muestra inicial	84
Fotografía 16 Análisis fisicoquímico del agua tratada	85
Fotografía 17 Análisis microbiológico inicial del agua de río	87
Fotografía 1 Análisis microbiológico final del agua de río	87

INTRODUCCIÓN

El agua es primordial para la existencia de vida en nuestro planeta, los seres vivos en su totalidad necesitamos de agua para sobrevivir.

Por lo cual la humanidad se ha puesto a almacenar y distribuir agua desde las primeras décadas, con diferentes técnicas como almacenamiento, limpieza y distribución así también las infraestructuras y las diferentes tecnologías descubiertas para el tratamiento, reciclado y depuración de aguas.

En algunos países todavía no cuentan con agua purificada, para ello se han ido realizando nuevas investigaciones de tecnologías que son indispensables para realizar el respetivo tratamiento de aguas para realizar la potabilización de la misma. Por ello se han enfocado en la obtención de coagulantes a partir de recursos sustentables. Una de las investigaciones que se ha conocido y ha sobresalido es la que fue investigada en Venezuela al Cactus latitaría, como también a la semilla de Prosopis juliflora; estas plantas fueron utilizadas, después de extraer como agentes, para el tratamiento de aguas sintéticas, teniendo en cuenta que esta agua tenia características parecidas al de las aguas crudas que son manejadas en los diferentes procesos de potabilización. (Escobar, 2018)

En el año 2004, se realizó el proceso de extracción de la Tuna (*Opuntia Cochinellífera*), y su respectivo análisis de un polielectrolitos de origen natural. La extracción de esta planta se realizó con diferentes procesos de operaciones unitarias, que son muy conocidas como el secado, molienda, tamizado, lixiviación usando alcohol etílico, filtración y el proceso de evaporación. Para poder realizar la caracterización de este biocoagulante se sometió a una espectroscopia infrarroja,

el cual permite identificar si es un polielectrolitos, efectivamente salió como resultado positivo y para poder saber de su capacidad como coagulante, se analizó la técnica de la prueba de test de jarras, con diferentes aguas potables turbias que mostraban una turbidez de 49 NTU, 199 UPC y un pH de 9,14, los resultados finales se mostró una eficiencia muy alta como coagulante en comparación a los coagulantes metálicos más utilizados en tratamiento de aguas, y una eficiencia mediana al coagulante natural y una baja eficiencia con los sintéticos. (Vilanova, Santín, & Pedret, 2017)

En 2013, se realiza la caracterización de la tuna (*Opuntia Ficus Indica*) para el utilizar como un coagulante natural, entonces las pectas de esta planta se sometió a diferentes operaciones para extraer este agente biocoagulante que es el corte de pencas, pelado, secado, molienda, tamizado y por ultimo una despigmentación, el cual se evaluó la efectividad del poder coagulante, por lo tanto, se realizó el análisis previo del efecto de tres concentraciones de lo que es la turbiedad, color, y el pH del agua potable. Los resultados finales indicaron que este biocoagulante el poder de remover un porcentaje fiable que es de 70% de turbidez, y 50% del color de aguas crudas con concentraciones muy altas en lo que es la turbidez inicial, y no altera su pH, si no que se mantiene. (Villabona Ortiz, Paz Astudillo, & Martínez García, 2013)

1. CAPÍTULO I

1.1 EL PROBLEMA

1.1.1 Planteamiento del problema

Para el desarrollo y crecimiento de todos los seres vivos, el agua es el sustento más importante, el cual es muy utilizado para distintas actividades provechosas que cumple el ser humano en su diario vivir. (Chavez, 2018)

En los últimos años algunos sectores consumen agua de mala calidad, este tipo de casos se dan por lo que las comunidades no pueden contar con coagulantes sintéticos o recursos necesarios, para realizar la respectiva potabilización de aguas.

Uno de los problemas más relevantes del Rio Bulubulu, es la turbiedad, color, metales pesados y diferentes microrganismos provocados por la presencia de partículas coloidales, como también poseen en su superficie cargas eléctricas negativas en gran parte, son aquellas cargas que crean barreras repulsivas entre sí, por lo que se imposibilita la aglomeración de la misma, es por ello que se necesita iniciar con una propuesta de alteración promoviendo la adición de coagulantes para crear una cambio de las características de las superficie de partículas, el cual es uno de los pasos más relevantes al momento de realizar el tratamiento aguas. (Vallejo & Zapata, 2014)

La coagulación es una de los puntos más críticos, que solamente se puede conseguir al momento de adicionar un agente que pueda remover, como es el caso del coagulante, el cual es capaz de poder neutralizar cargas electroestáticas que existen en los coloides suspendidos en el agua, dando lugar la formación de aglomeración hasta que se realice macropartículas de fácil sedimentación. (Billabona, Paz, & Martínez, 2013)

En los últimos años los coagulantes más usados, son en su mayoría de sales metálicas y polielectrolitos sintéticos. Debido a que este agente es uno de los principales causantes de los problemas ambientales, llegando a ser muy tóxicos al momento de utilizar altas concentraciones, ya que estos químicos son arrastrados generando lodos al sedimentador en el momento de realizar su debido proceso. Asimismo, al ser un producto técnico y especializado con una alta demanda en el mercado comercial, ya que este producto tiene un precio alcanzable. Por ellos es que se debe considerar, buscar nuevos recursos para la producción de estos coagulantes y que sean amigables con el medio ambiente, dando lugar el acceso a la economía del país. (Bravo, 2017)

Los coagulantes naturales más utilizados en diferentes países tenemos: lo que es moringa, trigo, yuca, papa, cactus, maíz, nopal y entre otras, algunos de estos productos son aprovechados por su alto contenido de almidón, debido a que se encuentra en gran abundancia en el Reino Vegetal (Ojeda, 2012)

Ecuador es uno de los países muy rico en flora, por ellos es conveniente realizar investigación para el aprovechamiento de estos recursos, que puedan contribuir en el tratamiento de agua, que sea en condiciones eficiente y económica para la empresa (Escobar, 2018)

1.2 FORMULACIÓN Y SISTEMATIZACIÓN DE LA INVESTIGACIÓN

1.2.1 Formulación del problema de investigación

¿Es posible obtener la eficiencia del biocoagulante a base de *Opuntia Ficus-Indica* para la aplicación de tratamiento de aguas superficiales del río Bulubulu que influyen en la separación de partículas suspendidas y coloidales?

1.2.2 Sistematización del problema

- Cuáles son los Parámetros Analizados?: ¿turbidez, pH, y color, en las aguas tratadas?
- ¿Aplicando el análisis de Prueba de Test de Jarras en Aguas crudas, será posible obtener una concentración apropiada del biocoagulante?
- Cuál será la eficiencia del Biocoagulante al momento de realizar pruebas de tratabilidad?

1.3 JUSTIFICACIÓN DE LA INVESTIGACIÓN

1.3.1 Justificación teórica

En la actualidad la mayoría de los países se ha enfocado al desarrollo de tratamiento de aguas, por motivos de la contaminación, estas técnicas consisten en varios de procesos físicos, químicos y biológicos que tiene como objetivos eliminar los contaminantes que existe o están presentes en el agua, utilizando coagulantes y floculantes metálicos o sintéticos como es el sulfato de aluminio y los polímeros sintéticos para poder remover turbiedad y color presentes en el agua. Actualmente se desconoce la existencia de instalaciones de tratamiento de aguas utilizando coagulantes naturales.

En el país no existe una determinación o evaluación científica oficial sobre el uso del biocoagulante primario o coadyuvante a base de *Opuntia Ficus-Indica*, por ende, se impulsa a realizar el proyecto de investigación que consiste en la "Determinación de la eficiencia del *Opuntia Ficus-Indica* como

biocoagulante para el tratamiento de aguas superficiales del río Bulubulu" y de esta manera ayudar a profundizar la búsqueda ejecutada en diferentes partes del mundo sobre este coagulante natural. En el presente trabajo se tiene como finalidad determinar la eficiencia del coagulante natural a base de *Opuntia Ficus-Indica* estudiando las características físicas y químicas que reaccionan en el tratamiento de aguas, debido a que las pecas de la planta contienen carbohidratos, dando lugar como un poder coagulante permitiendo resultados positivos en el tratamiento de aguas destinadas al consumo.

1.3.2 Justificación metodológica

Los coagulantes más usados para la remoción de turbiedad en la actualidad, es el cloruro férrico y el sulfato de aluminio, lo que indica es que no existe un control especifico al momento de realizar la adición de estas estas sustancias, dando constancia de que representa significativamente un riesgo potencial la salud humana, se menciona de que estos metales usados en el tratamiento de aguas ocasionan un residuo conocido como el residual de aluminio y que estas son las causantes en los efectos neurológicos adversos, teniendo en cuenta un principal riesgo que es la enfermedad del Alzheimer. (Solís, Laines, & Hernández, 2012). La intención de esta investigación es la determinación de la eficiencia del *Opuntia Ficus-Indica* como biocoagulante para el tratamiento de aguas superficiales, para lo cual se requiere realizar el control de la concentración apropiada, y de esta manera poder comprobar la eficiencia como un coagulante natural.

1.3.3 Justificación práctica

Está presente investigación se procede a realizar, con la finalidad de reducir la contaminación producido por los coagulantes químicos, como es el caso del coagulante metálico de sulfato de aluminio que al momento de realizar la aplicación en aguas contaminadas se tienden a permanecer

el residual de aluminio. Por lo cual es importante ejecutar nuevas fuetes de investigación que pueda demostrar, la necesidad de encontrar especies del origen vegetal con características de coagulantes y floculantes en aguas superficiales, que brinden resultados positivos, reduciendo así el impacto al hombre y al medio ambiente, por ende el presente trabajo se realiza con el fin de fortalecer la efectividad y la eficiencia del coagulante natural a partir *Opuntia Ficus-Indica*, generalmente estas plantas están disponibles en las serranías del país.

Se realizará varias pruebas de test de jarras para obtener la dosificación más eficiente del biocoagulante, y de inmediato realizar las pruebas pertinentes, que generalmente destacan en los parámetros de turbidez, color y pH, para analizar con las normativas correspondientes que puedan afirmar su eficiencia, y de esta manera contribuir al desarrollo de nuevas tecnologías adecuadas con el medio ambiente y al desarrollo de la Ingeniería, utilizando un producto natural que es el *Opuntia Ficus-Indica* (tunas), en las técnicas de tratamiento conocidos.

1.4 OBJETIVOS DE LA INVESTIGACIÓN

1.4.1 Objetivo general

Determinar la eficiencia del *Opuntia Ficus-Indica* como biocoagulante para el tratamiento de aguas superficiales del río BuluBulu

1.4.2 Objetivo especifico

- Caracterización de las propiedades físico-químicas y microbiológicas de la muestra obtenida del río Bulubulu
- Doubtener el biocoagulante del *Opuntia ficus indica*.

- Realizar pruebas para determinar la concentración óptima del biocoagulante para remoción de turbidez, color y alteración de pH en la muestra a tratar.
- Determinar la eficiencia que tiene el biocoagulante para reducir los parámetros físico-químicos y microbiológicos que se encuentra presente en el agua superficial del rio Bulubulu.

1.5 DELIMITACIÓN DE LA INVESTIGACIÓN

1.5.1 Delimitación temporal

Desde la fecha de aprobación del anteproyecto, se estima un lapso de cinco meses aproximadamente para presentar la obtención y el resultado de la eficiencia del biocoagulante a base de *Opuntia Ficus-Indica* para la aplicación de tratamiento de aguas.

1.5.2 Delimitación espacial

El trabajo de investigación se desarrolló en el laboratorio de Ingeniería de Aguas y Medio Ambiente de la Facultad de Ingeniería Química de la Universidad de Guayaquil, lugar donde se llevó a cabo la experimentación para determinar la eficiencia del *Opuntia Ficus-Indica* como biocoagulante en el tratamiento de aguas superficiales del Río BuluBulu.



Figura 1 Ubicación de la Facultad de Ingeniería Química

GD: -2.1819. - 79.8987

Fuente (Google Maps, 2018)



Figura 2 Ubicación del Rio BuluBulu

GD: -1.6422, -78.6746

Fuente (Google Maps, 2018)

1.5.3 Delimitación del contenido

Se llevará a cabo el proyecto de titulación centrado en el estudio de la obtención de biocoagulante a base de *Opuntia Ficus-Indica* y la eficiencia del mismo para la aplicación de tratamiento de aguas, que es una recopilación de enseñanza, en tratamiento de residuos sólidos e ingeniería de aguas y medio ambiente. Junto a previos trabajos realizados, libros e investigaciones realizados que engloban de manera general el tema propuesto.

1.6 HIPÓTESIS

Con la experimentación mediante pruebas de laboratorio estandarizadas se podrá determinar la eficiencia del *Opuntia Ficus-Indica* como biocoagulante para tratar aguas superficiales en muestras del río Bulubulu.

1.6.1 Variable independiente

Biocoagulante

Indicadores

- > Tiempo
- Concentración del coagulante
- Velocidad de agitación

1.6.2 Variable dependiente

Agua superficial del Río Bulubulu

Indicadores

- **⊳** pH
- Turbiedad
- > Color

1.6.1 Operacionalización de las variables

Tabla 1 Operacionalización de la variable

Variable	Tipo	Definición	Unidad de medición
Tiempo	Independiente	Es una de las magnitudes principales de	
		la física, el cual mide el intervalo en el	
		que ocurre una serie de sucesos.	S
Concentración del coagulante	Independiente	Es la relación que tiene la masa por	
		volumen de la solución.	mg/L
Velocidad de agitación	Independiente	Es la velocidad con la que va girar los	
		agitadores para acelerar el proceso de	Rpm
		formación de flóculos y su respectivo	
		mezclado. (Martínez & González,	
		2012)	
pH	Dependiente	Su sigla pH significa potencial de	
		hidrógeno, que permite medir la acidez	
		o basicidad de una sustancia	

		La turbiedad es la falta de pureza de un	
Turbidez	dependiente	líquido, debido a que hay partículas en	NTU
		suspensión, cuantos más sólidos	
		retenidos haya en una sustancia, es más	
		sucia y su valor de turbidez es alto.	
		(Méndez , 2011)	
		El color en tratamiento de agua se	
Color	Dependiente	determinar debido a la presencia de	Pt/Co
		sustancias disueltas y partículas en	
		suspensión, se clasifica en color	
		verdadero y color aparente. (Goyenola	
		, 2007)	
		T1 1 1	(A) ~ 0 G 1 2010\

Elaborado por: (Atupaña & Guacho, 2018)

2. CAPÍTULO II

2.1 MARCO DE REFERENCIA

2.2 Marco Teórico

2.2.1 Tuna (Opuntia ficus-indica)

Posee diferentes nombres de acuerdo a geografía donde se localiza, entre ellas tenemos: Tunas en Latinoamérica, Nopal en México, Cactus fruti y pear en Estados Unidos Kaktusfeigen en Alemania, Turksupurug en Sudáfrica. (Robles, 2009)



Figura 3 Tuna (Opuntia ficus-indica)

Fuente: (Robles, 2009)

Es una planta que alcanza los 5 metros de alto, pertenece a la familia de las Cactáceas, está formada por pencas que pueden llegar alcanzar de 30 hasta 50 cm de ancho y un grosos que alcanza los 2

cm. Tiene una superficie color verde intenso, tiene espinas de diferente tamaño, sus flores y frutos ovalados es de color amarillo. Habitan en zonas desérticas, en suelos arenosos. Tiene un desarrollo óptimo en temperaturas de 18 a 26 °C. (FUNDESYRAM, 2015)

Se conoce alrededor de 300 especies del género Opuntia. Pero, hay solo 10 o 12 más usadas, ya sea para el consumo humano o elaboración de algún producto.

2.2.1.1 Clasificación taxonomía

La clasificación científica la tuna pertenece al género Opuntia, la cual está dentro de las Cactáceas y su clasificación es:

Tabla 2 Clasificación taxonomía

Clase	Angiosperma	
Subclase	Dicotiledónea	
Orden	Cactales	
Familia	Cactácea	
Género	Opuntia	
Especie	Opuntia Ficus Indica	

Fuente: (Alcázar, 2015)

2.2.1.2 Clasificación científica

El nombre *Opuntia-Ficus Indica* se debe al español Higo de las Indias (Robles, 2009)

Tabla 3 Descripción completa de la clasificación científica

Clasificación científica			
Reino	Vegetal		
Subreino	Embryophita		
División	Angiospermae		
Clase	Dycotyledonea		
Subclase	Dialipétalas		
Orden	Opuntiales		
Familia	Cactácea		
Subfamilia	Opuntioideae		
Tribu	Opuntiae		
Género	Opuntia Nopalea		

Fuente: (Alcázar, 2015)

2.2.1.3 Característica morfológica

Es una planta única en su género, presentando las siguientes características:

Tallo: es un género herbáceo que mide de 3 a 5 m de alto, tiene un tronco leñoso de 20 a 50 cm de diámetro, a diferencia de otro género de cactáceas el tallo está formado por tronco y ramas aplanadas con cutículas gruesas de color verde.



Figura 4 Tallo (Opuntia ficus-indica)

Fuente: (Paucara, 2017)

Flores: las flores están localizadas en la parte de arriba de la penca, cada areola produce por general una flor, la cual mide alrededor de 5 a 7 cm de longitud, sus pétalos son de diversos colores vivos como amarillo, anaranjado, rojo rosa.



Figura 5 Flores (Opuntia ficus-indica)

Fuente: (Robles, 2009)

Fruto: tiene forma ovoide de color verde con un diámetro de 5,5 y 7 cm, con una longitud de 5 a 10 cm, se tornan de diferentes colores cuando se maduran, su cascara son gruesas y su pulpa es gelatinosa y abundante en semillas.



Figura 6 Fruto (Opuntia ficus-indica)

Fuente: (Robles, 2009)

Pencas o Cladodios: es de color verde oscuro con areolas que contienen espinas de color amarillo, puede llegar alcanzar de 30 hasta 50 cm de largo, con un ancho de 20 a 40 cm y un grosor de 2 a 3 cm.

Hojas: mide alrededor de 4 a 5 milímetros de largo, tiene espinas engrosadas en su superficie, sus hojas se caen cuando las pencas alcanzan su desarrollo.



Figura 7 Hojas (Opuntia ficus-indica)

Fuente: (Robles, 2009)

2.2.1.6 El mucílago del Opuntia ficus-indica

El mucilago es originario de la tuna (Opuntia), es considerado un hidrocoloide natural debido a que la goma Guar y gomas comerciales Carragenina, se encuentran en ellas. Es una sustancia espesa y gomosa, que permite al *Opuntia Ficus-Indica* almacenar agua en grandes cantidades, que al momento de entrar en contacto con el agua el mucilago se hincha, mostrando propiedades tensoactivas similares a las diversas gomas naturales, permitiendo que el mucilago precipite partículas e iones de soluciones acuosas. (Jiménez, 2014)

2.2.1.7 Composición química del mucílago

El mucílago de Opuntia Ficus-indica es un carbohidrato complejo compuesto por más de 55 azúcares residuales, entre los que se encuentran la L-arabinosa, D-galactosa, L-Ramnosa, D-Xilosa y ácido Galacturónico. (Jiménez, 2014)

-(D - Gal A -
$$\alpha$$
 (1 \rightarrow 2) - L - Rha - β - (1 \rightarrow 4)_n -

4

$$\uparrow$$

$$Gal 3 \leftarrow R$$
6

$$\uparrow$$
1
$$R \rightarrow 4 \text{ Gal 3} \leftarrow R$$
6

$$\uparrow$$
1
$$\beta$$
1
$$Gal 3 \leftarrow R$$
4
$$\uparrow$$
R

$$R = \text{Arabinosa o Xilosa}$$

Figura 8Esquema propuesta del mucilago de Opuntia Ficus Indica

Fuente: (Jiménez, 2014)

2.2.1.8 Mucilago como agente depurador

Los coagulantes naturales o biocoagulante que tienen mayor rendimiento en el tratamiento de agua tenemos los que están compuestos de algínicos, los derivados de la tuna y nopal, el almidón y algunas semillas.

Los biopolímeros contienen una toxicidad en mínimas cantidades y en muchos de los casos es nula, donde se incrementa el uso del biocoagulante en el tratamiento de aguas en los procesos de purificación y clarificación, porque sus costos no son elevados. (Jiménez, 2014)

En Cuba se realizó una comparación entre el coagulante natural del mucilago de Opuntia Ficus-Indica y el coagulante químico de sulfato de aluminio, donde concluyeron que el coagulante natural del mucilago *Opuntia stricta* variedad Dillenii y *Opuntia ficus-indica* tienen un comportamiento similar al coagulante de sulfato de aluminio para la clarificación del agua.

Otros estudios realizados lograron determinar que el material que se extrae del *Opuntia ficus indica* tiene un alto poder de remoción de color al 50%, turbidez al 70%, debido a su actividad como biocoagulante, sin alterar el pH.

2.2.1.9 Usos y aplicaciones

Para la elaboración de diversos productos ya sea aceites, pectinas, vinos, licores, mermeladas, barra de cereales, vinagre y colorante se utiliza el mucilago, cascara, pulpa y sus compuestos químicos. También se lo utiliza con fines medicinales para la elaboración de astringente, antinflamatorio, antipirético, analgésicos, etc. A nivel experimental se lo utiliza como fuente de energía para producir el gas metano, la biomasa y enzimas. (Robles, 2009).

2.2.2 Biocoagulante

Los coagulantes naturales o también llamados biocoagulante son seguros, no contamina el medio ambiente y está libre de toxicidad. Los compuestos bioactivos más utilizados son el mucilago, alcaloides, polisacáridos, proteínas y taninos.

En el tratamiento de aguas ya sea, industrial, residual o en la potabilización del agua, los biocoagulante permiten la desestabilización de solidos suspendidos (contaminación coloidal) y remueven los sólidos disueltos, disminuyendo el DQO.

Los biocoagulante generan mínimas cantidades de lodos residuales, en comparación a los coagulantes químicos. (Banchón, Baquerizo, Muñoz, & Zambrano, 2016)

2.2.3 Coagulación-floculación

La coagulación y la floculación son métodos químicos, que tiene por objetivo potabilizar el agua para el consumo humano, como también para realizar tratamiento de aguas residuales de diferente origen ya sea industrial, minería.

Este proceso es el método más destacado en la remoción de partículas coloidales y suspendida (80 a 90% de remoción), del agua potable. Además de reducir parcialmente el color del agua, también remueven la turbiedad, microorganismos en un 80 a 90%, y virus. (Ojeda Báez, 2012)

2.2.3.1 Coagulación

Es la desestabilización de una coloide derivada en la eliminación de las dobles capas eléctricas rodeando a todas las partículas coloidales, formando de núcleos microscópicos. Estas reacciones se inician al momento de añadir los coagulantes en el agua a tratar y esto dura pocos segundos, y consta una serie de reacción física y química que hay entre la superficie de las partículas, alcalinidad, agua y los coagulantes.

2.2.3.2 Floculación

La floculación es aquella aglomeración de las partículas que desestabilizan primero en flóculos muy pequeños, para más tarde poder aglomerar flóculos voluminosos. Produciendo el poder de la captación de los flóculos para poder reducir el grado de la hidratación y poder lograr las características adecuadas con un mayor peso para poder facilitar la remoción. (Arboleda, 2000) Estos procesos se utilizan para las distintas fases:

- Remover de turbiedad orgánica e inorgánica, que no se pueda realizar la sedimentación correcta de manera rápida.
- Remover el color que posee y aparenta el agua.
- Eliminar los virus, las bacterias y los organismos patógenos que pueda existir en la separación con el coagulante.
- Destruir las algas que existe en la muestra y el plancton en general.
- Eliminación de las substancias que producen el sabor y el mal olor, como también la precipitación química suspendida en otros. (Arboleda, 2000)

2.2.3.3 Mecanismo de coagulación

Existen variedad de mecanismos de desestabilización coloidal, que son:

Compresión de doble capa eléctrica

Es el aumento de las concentraciones de los electrolitos, en donde la capa difusa capta iones de signo contrario al momento de ser incorporadas las mismas, realizando una compresión y disminución de fuerzas repulsivas, y también disminuye la potencial zeta. La coagulación empieza al momento de formar una distancia entre partículas superior a L, por lo cual las partículas, no se

pueden realizar una atracción entre ellos; E (es aquella energía que los mantiene apartados). (Barrenechea & Aurazo, 2004)

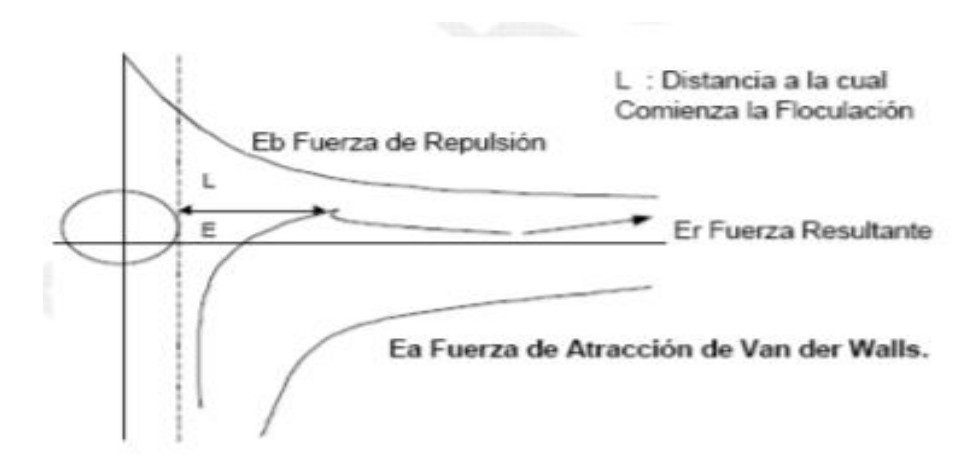


Figura 9 Fuerza de atracción de Van del Walls

Fuente: (Barrenechea & Aurazo, 2004)

Las soluciones coloidales son aquellas que no poseen una carga eléctrica neta, como las partículas coloidales, es por esta razón que la carga primaria en las partículas requiere un equilibrio al momento de llegar a la fase acuosa, por ende, en cada interface existe una doble capa eléctrica al momento de unir un sólido y liquido (agua). Esta capa es formada al momento de tener una partícula con carga y que los iones con carga contraria (contra iones) tiendan a tener un exceso de igual carga, que se acumula en el agua al momento de estar cerca en las superficies de las partículas. (Arboleda, 2000)

Para poder entender y aclarar esta teoría se puede representar en tres partes, en donde trata de explicar de la distribución de iones y la diferente variación del potencial con distancia a la superficie.

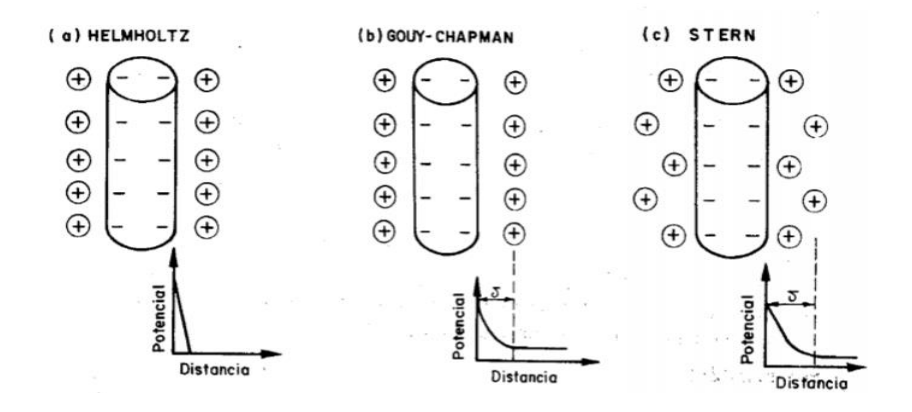


Figura 10 Teoría de doble capa eléctrica

Fuente: (Arboleda, 2000)

La floculación es aquella aglomeración de las partículas que desestabilizan primero en flóculos muy pequeños, para más tarde poder aglomerar flóculos voluminosos. Produciendo el poder de la captación de los flóculos para poder reducir el grado de la hidratación y poder lograr las características adecuadas con un mayor peso para poder facilitar la remoción. (Arboleda, 2000) Estos procesos se utilizan para las distintas fases:

- Remover de turbiedad orgánica e inorgánica, que no se pueda realizar la sedimentación correcta de manera rápida.
- Remover el color que posee y aparenta el agua.
- Eliminar los virus, las bacterias y los organismos patógenos que pueda existir en la separación con el coagulante.
- Destruir las algas que existe en la muestra y el plancton en general.
- Eliminación de las substancias que producen el sabor y el mal olor, como también la precipitación química suspendida en otros. (Arboleda, 2000)

2.2.3.4 Neutralización de cargas por adsorción

Ciertas especies químicas tienden a tener una capacidad de ser adsorbida en superficies de partículas coloidales. La atracción que existe entre la superficie y la especia absorbida se debe a la

interacción entre los enlaces de hidrogeno, enlaces covalentes y reacciones de coordinación y el intercambio iónico. Que permite estabilizar la carga de partículas cuando existe un exceso al momento de realizar la coagulación. Sin embargo, la especie química tiene una carga contraria a la superficie de sólidos, esto se va desestabilizar.

La adsorción específica, es causada por la interacción entre coagulación y el coloide. Es frecuente el caso de especies hidrolizadas de aluminio, hierro y polímeros sintéticos.

2.2.3.5 Mecanismo de barrido

Se origina cuando se añade coagulante en concentraciones elevadas, donde este compuesto va exceder el límite de solubilidad. Dando lugar a la precipitación de hidróxidos que se forma debido a la reacción alcalina y el agua con el coagulante, produciendo un floc de barrido que permite atrapar a los coloides y partículas suspendidas cuando caen dentro del precipitado, permitiendo la remoción de la turbiedad.

La presencia de algunos iones y partículas coloidales van acelerar la formación del precipitado, donde esta partícula hace el papel de anillo al momento de la formación del floc; dando origen a una relación inversa entre la turbidez y la cantidad de coagulantes. (Abi-Faical, 2010)

2.2.3.6 Factores que influyen en la Floculación-Coagulación

Los factores que influyen en el proceso de floculación y coagulación son:

pH: Es una propiedad química importante debido a que las diferentes aguas a tratar deben llegar a tener un pH óptimo para tener una coagulación que pueda ocurrir de forma rápida al momento de realizar el tratamiento. (Andía, 2000)

- Color: el color se relaciona con el pH, debido a que si el pH disminuya bajara la intensidad del color dando un buen proceso en el tratamiento de aguas con el coagulante.

 (Domínguez Amorocho, 2010)
- Sales Disueltas: causan modificaciones en el pH del agua y se considera en este proceso en la cantidad del coagulante, el tiempo de coagulación y a la cantidad residual de coagulante dentro del efluente. (Andía, 2000)
- Turbiedad: es aquella que contiene partículas sólidas, mientras mayor es la turbiedad, mayor será la cantidad de coagulante que se agrega en el agua. (Domínguez Amorocho, 2010)
- Temperatura del agua: La diferencia de temperatura puede afectar en la energía cinética de algunas partículas suspendidas, haciendo que la coagulación se vuelva más lenta. Para encontrar la dosis adecuada, se realiza mediante la prueba de test de jarra. (Andía, 2000)
- Condiciones de mezcla: permite determinar que la coagulación sea completa, al momento de realizar la adicción del coagulante, esto tiende a tener una velocidad de agitación que golpea la masa del agua. (Andía, 2000)
- Método de aplicación de los coagulantes: Para tener una reacción adecuada en el agua se debe adicionar una concentración óptima del coagulante, permitiendo una formación constante y uniforme. (Andía, 2000)

2.2.3.7 Principales coagulantes

2.2.3.7.1 Coagulantes metálicos

Son aquellos coagulantes que son utilizadas en el tratamiento de aguas, para su respectiva purificación ya sea agua residual, superficial, domestica e industrial. Se pueden usar diferentes

coagulantes metálicos dependiendo del pH que tenga el agua. Hay dos tipos de sales que permiten la formación flocs ligeramente pesado.

Las sales más conocidas son:

- Sulfato de Aluminio: Es conocido con el nombre de alumbre. Para agregar este coagulante en el agua debe de estar en un pH de 6 a 8, donde va formar flóculos de pequeño tamaño y no va necesitar de ningún aditivo.
- Sulfato Ferroso: Es un coagulante más económico, que se lo utiliza junto con la cal para el tratamiento de agua cuando esta tenga un pH mayor a 8.
- Sulfato Férrico: Es utilizado para tratar aguas residuales, ya que produce una alta corrección y es por ello que no se lo emplea en la potabilización del agua, dando lugar a la formación de flóculos que se pueda remover fácilmente
- Cloruro Férrico: También conocido como tricloruro de hierro, la utilización de este producto es muy limitado por el intervalo de pH reducido.

2.2.4 Mecanismo de acción coagulación/floculación del mucilago *Opuntia Ficus-Indica*

El *Opuntia Ficus-Indica* es utilizada en diversas investigaciones debido a sus diversas propiedades tanto medicinales, alimentaria, como agentes coagulación y floculación para la purificación y clarificación de aguas, ya sea superficiales o residuales que tienen alto contenido de iones metales pesados, turbidez, color, Demanda Química de Oxigeno. Las partes más utilizadas del *Opuntia Ficus-Indica* son el mucilago y cladodios ya que contiene una alta capacidad de coagulación. Los cladodios del cactus contienen carbohidratos complejos almacenados que tiene la capacidad de retener en el agua. Se conoce que el cactus contiene polielectrolitos naturas viscosas con cargas

superficiales y con una mínima cantidad de acides, debido a estas propiedades es utilizada como agente coagulante. Por esta razón es considerada esta planta un material descontaminante del agua, biodegradable, económico y natural. La producción del coagulante natural del *Opuntia Ficus-Indica*se obtiene de las pencas, realizando su respectivo secado y molienda hasta obtener un polvo fino inferior a 0.05 mm.

Para poder determinar los componentes que contiene el O. ficus se utiliza la técnica de FTIR, la cual permite realizar la respectiva identificación en los grupos funcionales, si estas son eficientes en la actividad como un coagulante que pueda disminuir los metales pesados que existe en el agua al momento de tratar. Mediante esta técnica FTIR se determinó como agente bioactivos el ácido poligalacturónico. (Martínez & González, 2012)

Figura 11 Ácido poligalacturónico

Fuente: (Martínez & González, 2012)

La coagulación y floculación en agua que contiene metales pesados se realiza con diversos mecánicos de reacción como: neutralización de carga, compresión de doble capa, adsorción, floculación de barrido, parches eléctricos y la adsorción entre puentes de partículas. El mecanismo más eficiente para la remoción de turbidez en este tipo de tratamiento con el O. ficus es adsorción y de puente de partículas. Para la eliminación de metales pesados como: Cu+2, Cd+2, Zn+2, y Pb+2, se utiliza los mecanismos de adsorción de puente partículas, adsorción y neutralización de

carga, debido a la naturaleza aniónica y la macromolécula del ácido galacturónico desprotonado en el coagulante. (Bravo, 2017)

2.2.5 Agua superficial

Son aquellas aguas que se encuentran en la superficie de la Tierra, pueden presentarse de forma corrientosa, en el caso de ríos, lagos, reservorios, lagunas entre otros y es muy utilizados por los seres vivos.

2.2.6 Parámetros de control de la calidad de agua

El agua para consumo humano debe ser sometida a una serie de control de calidad con el objetivo de poder eliminar o reducir los contaminantes que son perjudiciales para la salud, asegurando así el bienestar del consumidor.

Tabla 4 Clasificación de los contaminantes que existe en el agua

Físicos	Químicos	Gaseosos	Biológicos	
Color	Materia orgánica	Metano	Bacterias	
Olor y sabor	Metales pesados	Anhídrido carbónico	Algas	
Grasas y aceites	Ph	Ácido sulfhídrico	Hongos	
Espumas	Nitrógeno		Animales	
Solidos disueltos	Salinidad		Protozoos	
Sólidos en suspensión	Pesticida		Plantas	

Fuente: (Morejón, 2017)

2.2.6.1 Características físicas

Tabla 5 Características físicas del agua

Característica física	Característica física Definición			
	Su unidad de medición es Unidades			
	Nefelométricas de Turbidez (UNT), la			
Turbidez	turbiedad es la falta de transparencia que			
	tiene un líquido con sólidos en suspensión.			
	(Severiche, Castillo, & Acevedo, 2013)			
	El color su unidad de la escala Pt-Co. Por lo			
Color	general el agua no tiene color, en algunos			
	casos existe una leve coloración debido a la			
	presencia de materiales pigmentados como			
	los ácidos húmicos, turba, plancton, y de			
	ciertos metales como hierro, disueltos o en			
	suspensión. (Alcázar, 2015)			
	Se puede determinar sustancias presentes en			
Olon v sahon	el agua en menor cantidad por medio del			
Olor y sabor	sentido del olfato, debido a que no existe			
	instrumento de observación. (Samboni,			
	Carvajal, & Escobar, 2015)			
	Es una magnitud física muy importantes en el			
	agua, ya que esto va depender en la			

	aceleración o el en retardo de la actividad			
Temperatura	biológica. (Severiche, Castillo, & Acevedo,			
	2013)			
	Son residuos que se obtiene luego de que el			
Sólidos	agua sea evaporada y secada a una			
	temperatura dada, existen solidos que se			
	encuentran suspendidos o retenidos en el			
	agua. (Samboni, Carvajal, & Escobar, 2015)			

Elaborado por: (Atupaña & Guacho, 2018)

Definición

2.2.6.2 Características químicas

Característica química

Tabla 6 Características químicas del agua

	Neutraliza los ácidos que se encuentran en el
	agua, está influenciada por pH, temperatura
	y la fuerza iónica. La alcalinidad se debe a su
	contenido de carbonatos, bicarbonatos e
Alcalinidad	hidróxidos, entre otras sales o bases.
	(Severiche, Castillo, & Acevedo, 2013)
	La dureza en el agua es la suma de todos los
	cationes metálicos no alcalinos. (Valenzuela,
Dureza	2014)
рН	Indica la acidez de una sustancia.

Es utilizada para expresar las condiciones ácidas o alcalinidad de una solución.

(Samboni, Carvajal, & Escobar, 2015)

Elaborado por: (Atupaña & Guacho, 2018)

Definición

2.2.6.3 Características biológicas

Características biológicas

Tabla 7 Características microbiológicas

	Nos permite determinar si el agua que se		
	consume es apta para el ser humano, estos		
Coliformes totales	Coliformes contribuyen al crecimiento de algas		
	y malezas en el medio acuático, la cual		
	disminuye el oxígeno y causa la muerte de peces		
	y otras especies. (Alcázar, 2015)		

2.3 MARCO CONCEPTUAL

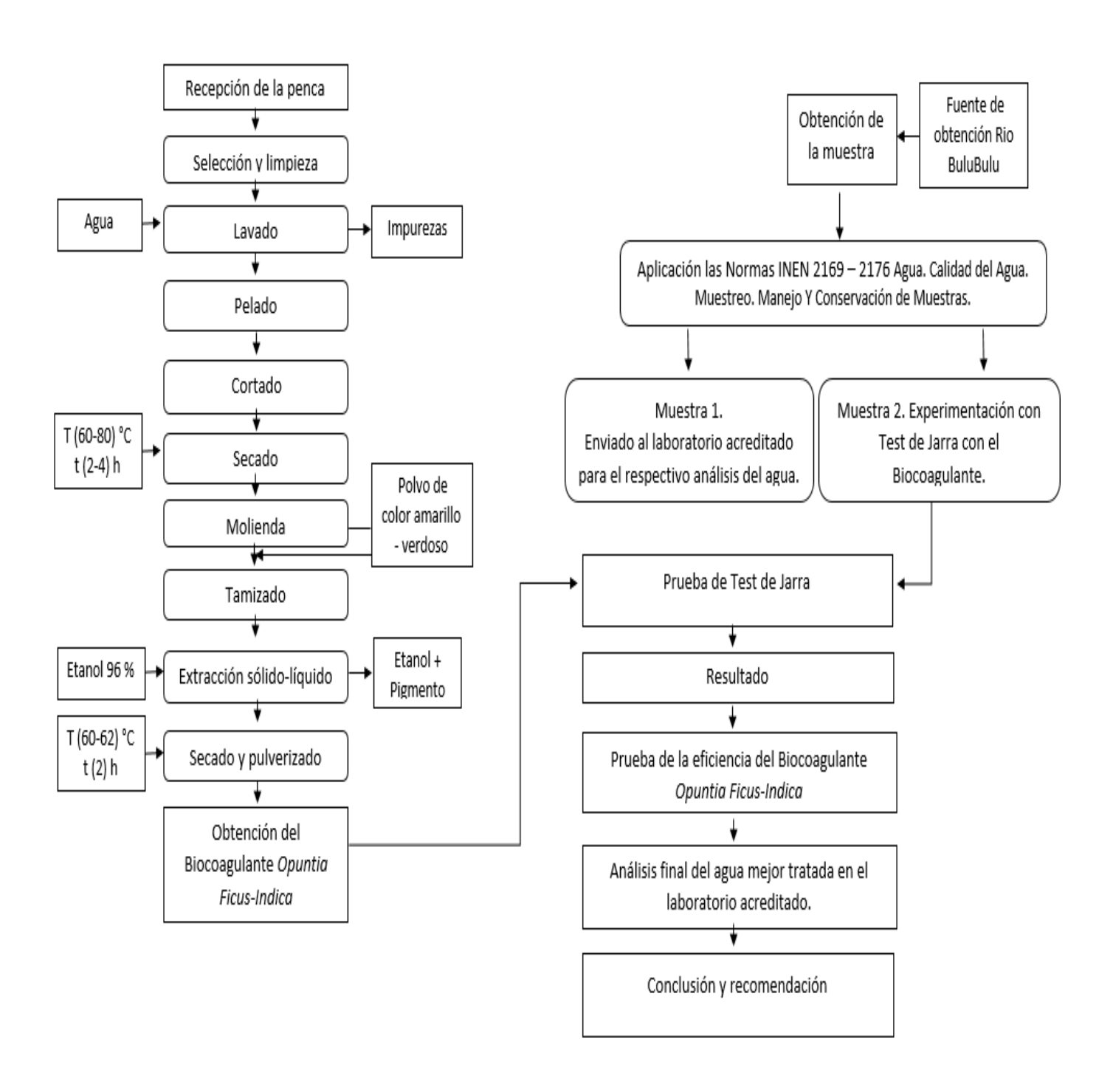


Figura 12 Diagrama de flujo de elaboración del biocoagulante Opuntia Ficus-Indica

2.4 MARCO CONTEXTUAL

2.4.1 Coagulantes utilizados en el Ecuador

En la ciudad de Quito, la empresa que es encargada de realizar tratamientos para agua potables y saneamiento de la misma es la Empresa Publica Metropolitana, el cual nos indica que el sulfato de aluminio es uno de los agentes más utilizado en la coagulación de aguas, al momento de tratar, en la plata más conocida de tratamiento de aguas, Bellavista tratan 3000 litros por segundo, en su máxima capacidad la concentración que se utiliza tiene un promedio de 65 mg/L, junto con un polímeros que permite la floculación en un concentración de 0,17 mg/L, esta empresa tiene un sistema automático de dosificación para añadir el sulfato de aluminio y un sistema doble para la obtención de la concentración del polímero. (Cañas , 2015)

En el país normalmente cada planta de tratamiento de aguas, tiene su propio método para realizar su tratamiento correspondiente, en donde utilizan múltiples agentes coagulantes-floculantes con diferentes dosis, variando así los resultados finales de cada una de las pruebas. En la ciudad de Guayaquil el instituto que se encarga de realizar tratamiento de agua es el concesionario Interagua, la cual utiliza coagulantes como el sulfato de aluminio líquido, antes de realizar cualquier tratamiento, cumplen con los estudios necesarios de laboratorio para poder determinar la dosificación apropiada para dicho tratamiento. En el año 2013, se ha utilizado una dosificación promedio mensual de 22,43 mg/L alcanzando una turbiedad promedio de 20 NTU. Para que el agua tenga un alto nivel de pH se usa Hidróxido de Calcio. En ese mismo año realizaron tratamiento de agua potable con 30'201200 m3. (JPV Cosultores, 2014)

2.4.2 Producción en el Ecuador

El país tiene alrededor de 180 hectáreas sembrado de tuna en diferentes provincias como: Tungurahua, Santa Elena, Loja, Imbabura, Riobamba y Carchi. Siendo Imbabura y Carchi las provincias donde hay mayor producción.



Figura 13 Provincias donde se producen tunas

Fuente: (Cuacés, 2013)

La mayoría de las tunas que se cultivan en Ecuador son afectados por diversos insectos que ocasionan daños en el cultivo consecuencia a esto su fruto presenta mancha y sus hojas cortadas afecta a su floración.

2.4.3 Producción en la región sierra norte del Ecuador

En la región Norte de la Serranía Ecuatoriana se cultivan alrededor de 63 hectáreas de tuna, la cual solo 38 hectáreas se encuentran en producción.

En la provincia de Imbabura y Carchi se cultivan cuadro clases de tuna: tuna amarilla sin espina, amarilla con espina, la blanca y silvestre, las tres primeras se cultivan con métodos técnicos para lograr una mejor producción.

2.4.4 Tipo de tuna en Ecuador

Debido a las condiciones climáticas que hay en Ecuador existen cuatro tipos de tuna:

> Tuna silvestre

Esta planta tiene hojas y fruto más pequeño que el resto. Gran parte de esta planta se encuentra plagada por un parásito llamado cochinilla (se extrae colorante natural).



Figura 14Tuna silvestre

(Biodiversitas, 2006)

> Amarilla con espinas

Este tipo de tuna se da por el cruce de dos tunas: silvestre y amarilla sin espinas. Tiene un fruto redondo y grande con espinos en su alrededor. Es muy apetecida debido a que su comida es amarillenta y la vuelve deliciosa. (El Comercio, 2011)



Figura 15 Amarilla con espinas

(Biodiversitas, 2006)

Tuna blanca

Tiene un fruto alargado, su pulpa es muy dulce que las otras tunas. Esta planta es más resistente al ataque de plagas



Figura 16 Tuna blanca

(Biodiversitas, 2006)

> Amarilla sin espina o de Castilla

Es una de la más usada por el consumidor debido a que no poseen espinas, pero es una planta delicada



Figura 17 Amarilla sin espina o de Castilla

(Biodiversitas, 2006)

3 CAPÍTULO III

3.1 Metodología de la investigación

El presente trabajo de investigación se desarrolla bajo un enfoque metodológico cuantitativo de tipo experimental, teniendo como el objetivo principal demostrar la eficiencia del coagulante natural obtenida de las pecas de *Opuntia Ficus indica* (tuna), para la sustitución de coagulantes metálicos; por lo tanto, se hicieron diferentes pruebas para encontrar la dosis óptima, donde se va controlar los diferentes parámetros físico-químicos como color, pH y turbiedad basado a las normas ambientales.

3.2 Materiales y equipos

Tabla 8 Materiales y equipos

	Nombres		Cantidad
	Test de Jarras	Modelo HACH	1
		7790-400	
		120v 50-60 Hz	
	Estufa	Tappan Modelo	1
		TC1050W	
	Turbidímetro HACH 2100P		1
	Colorímetro	HACH 890	1
Equipos	pH-metro	Waterproof	1
Equipos		OAKTON	
Reactivos	Etanol	98%	-
	Pencas de tuna	2000 g	-
	(Opuntia Ficus		
	Indica)		

Materiales	Muestra a tratar	20 gal	-
	(Agua del río		
	Bulubulu)		
	Agua destilada	2 Gal	-

3.3 Diseño de la investigación

3.3.1 Obtención del biocoagulante de la penca de tuna

Una vez colectadas las pencas de la tuna, se seleccionó 8 pencas en buen estado, procediendo a realizar el respectivo lavado removiendo los péndulos y espinos que este en ella, para luego realizar el debido pelado. Quitada completamente la cáscara se procedió a realizar cortes en pequeñas tiras de igual tamaño con el fin de poder tener una mayor eficiencia al momento de secar.

La pulpa cortada fue secada en una estufa a una temperatura de 60 a 80°C por 48 horas hasta poder obtener un peso constante. Luego se procedió a realizar la molienda en un molino de tornillo sin fin para reducir tamaño hasta obtener un material granulado. Para luego llevar a un tamizado y con la ayuda de un tamiz obtener partículas inferiores a 0.05mm.

En caso de tener la necesidad se elimina los pigmentos del polvo de la penca de *Opuntia Ficus-Indica* con etanol al 96% como solvente, mediante el equipo de Soxhlet. Después de realizar la eliminación de los pigmentos, se seca en una estufa a 60 °C hasta eliminar el etanol residual del biocoagulante.



Figura 18 Coagulante de penca de tuna (Opuntia ficus-indica)

Fuente: (Atupaña & Guacho, 2018)

3.3.2 Evaluación del poder del biocoagulante

Para evaluar la efectividad del biocoagulante obtenido a partir de los cladodios de tuna (*Opuntia ficus indica*) se lo realiza mediante el test de jarra que está establecido en la norma ASTM D2035-08, para ello se utilizó muestra de agua superficial, obtenida del río Bulubulu de la Provincia del Guayas.

3.3.3 Preparación de la solución madre

El biocoagulante obtenida se procede a pesar en una balanza analítica para realizar una solución de 1000 mg/l, para realizar la experimentación necesaria en el test de jarras y encontrar la concentración óptima en que se debe realizar al momento de tratar el agua.

3.3.4 Prueba de Jarras

Para realizar la prueba de test de jarras, como primer paso, se realiza la adición de una cierta cantidad de agua del rio Bulubulu, exactamente de 500 ml en los 6 vasos de precipitación, los cuales se deben colocar debajo de las aspas del equipo, y se procede a encender por 1 minuto a 100

rpm, después de realizar este paso de inmediato se debe adicionar el biocoagulante de la tuna (Opuntia Ficus Indica) según las concentraciones analizadas. Después de añadir el coagulante y termina el minuto, se debe dejar que el equipo funcione por 10 minuto a una velocidad de 30 rpm. Al momento de realizar la obtención de la concentración apropiada del biocoagulante, se procede nuevamente realizar un nuevo análisis de la prueba de jarras, esta vez analizando con el coagulante de sulfato de aluminio para para medir la eficiencia que tiene el coagulante y realizar una comparación entre ambos.



Figura 19 Equipo de test de jarra del laboratorio de agua

Fuente: (Atupaña & Guacho, 2018)

También, se realiza una evaluación visual de acuerdo al índice de Willcomb y se puede apreciar en el siguiente cuadro.

Número	Descripción
0	No se observa la presencia de aglutinación.
2	Visible. Los flóculos son tan diminutos que son casi imperceptibles a simple vista.
4	Dispersos. Los flóculos están bien formados, pero precipita muy lentamente e inclusive no precipitan.

6	Claro. Los flóculos formados son de un mayor tamaño sin embargo aún sedimenta con
	lentitud
8	Bueno. Los flóculos son grandes y precipitan en poco tiempo
10	Excelentes. Los flóculos es sedimentada con facilidad y el agua se torna más cristalina

Fuente: (Arboleda, 2000)

3.4 Toma de muestra

3.4.1 Localización de la toma de muestra

La muestra se tomó del río Bulubulu en el Cantón Naranjal por vía Naranjito, en el puente el Paraíso.



Figura 20 Ubicación del rio Bulubulu

GD: - 1.3689, - 92.4960

Fuente (Google Maps, 2018) (Arboleda, 2000)

3.4.2 Normas aplicadas

Los parámetros fisicoquímicos y microbiológicos de la muestra del río Bulubulu se realizará en el Laboratorio de Aguas de Servicio de Acreditación Ecuatoriano de la Facultad de Ingeniería Química de la Universidad de Guayaquil.

Las normativas técnicas ecuatorianas para la toma y custodia de muestra para esta investigación son:

- NORMA TÉCNICA ECUATORIANA NTE INEN 2 169:98 "AGUA. CALIDAD DEL AGUA. MUESTREO. MANEJO Y CONSERVACIÓN DE MUESTRAS."
- NORMA TÉCNICA ECUATORIANA NTE INEN 2 176:1998 "AGUA. CALIDAD DEL AGUA. MUESTREO. TÉCNICAS DE MUESTREO."

3.4.2.1 Para realizar la caracterización de muestra

Para determinar turbiedad se emplea con un Turbidímetro. Este dispositivo, permite saber las partículas en suspensión en un líquido o en un gas disuelto, se realiza por medio de un haz de luz y un detector de luz fijado a 90° del haz original. (Olivero, Mercado, Casas, & Montes, 2014)

Para determinar color y pH se determina con dispositivos como el fotómetro y pH-metro respectivamente.

Tabla 9 Parámetros para la caracterización de la muestra

Parámetros	Métodos	Norma
Potencial de Hidrogeno	4500-H'B pH value	(NTE INEN-ISO 10523)
Color real	890 HACH	(NTE INEN 970)
Turbidez	2130 B S.M.	(NTE INEN 971)
Nitratos	8171 HACH	(NTE INEN 975 - 995)
Nitritos	8507 HACH	-

Fuente: (NTE INEN 2 169:98)

4 CAPÍTULO IV

4.1 Resultados

4.1.1 Selección de dosis óptima del coagulante de las pecas de tuna (Opuntia Ficus Indica).

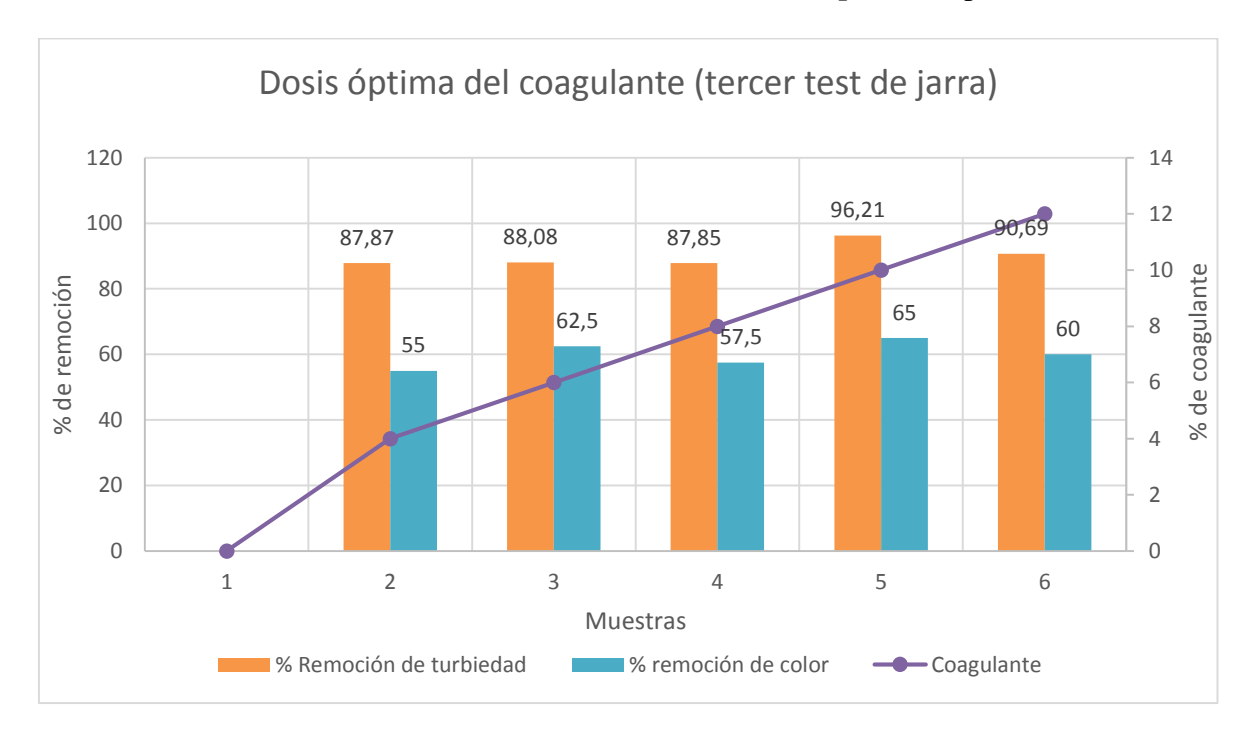
Tabla 10 Dosis optima del biocoagulante de Opuntia Ficus Indica

	Agua Cruda	Dosificación mg/l	Observaciones visuales		Agua sedimentada		a
	Turbiedad: 47.6 NTU Color real: 40 (Pt/Cu)	Mezcla rápida Tiempo: 1min Velocidad: 100 rpm	Volúmenes de vasos 500 ml		Floculación Tiempo de flocs: 10 min Velocidad: 30 rpm Sedimentación Tiempo: 15 min		
N° de Jarras	рН	Coagulante Solución de <i>Opuntia</i> Ficus Indica	Tiempos de formación de flocs	Índice de Willcomb	рН	Color (Pt/Cu)	Turbiedad (NTU)
1	7,49	-	-	-	7,49	40	47,6
2	7,49	4	5′25′′	5	7,28	18	5,77
3	7,49	6	4′39′′	5	7,24	15	5,67
4	7,49	8	4′50′′	6	7,14	17	5,78
5	7,49	10	3′53′′	8	6,97	14	1,80
6	7,49	12	4′09′′	6	7,16	16	4,43

Tabla 11 Porcentaje de remoción de turbiedad y color del mejor test de jarras con el coagulante de Opuntia Ficus Indica

Muestra	Turbiedad	Color (Pt/Cu)	% Remoción	% remoción de
	(NTU)		de turbiedad	color
1	47,6	40	-	-
2	5,77	18	87,87	55
3	5,67	15	88,08	62,5
4	5,78	17	87,85	57,5
5	1,80	14	96,21	65
6	4,43	16	90,69	60

Elaborado por: (Atupaña & Guacho, 2018)



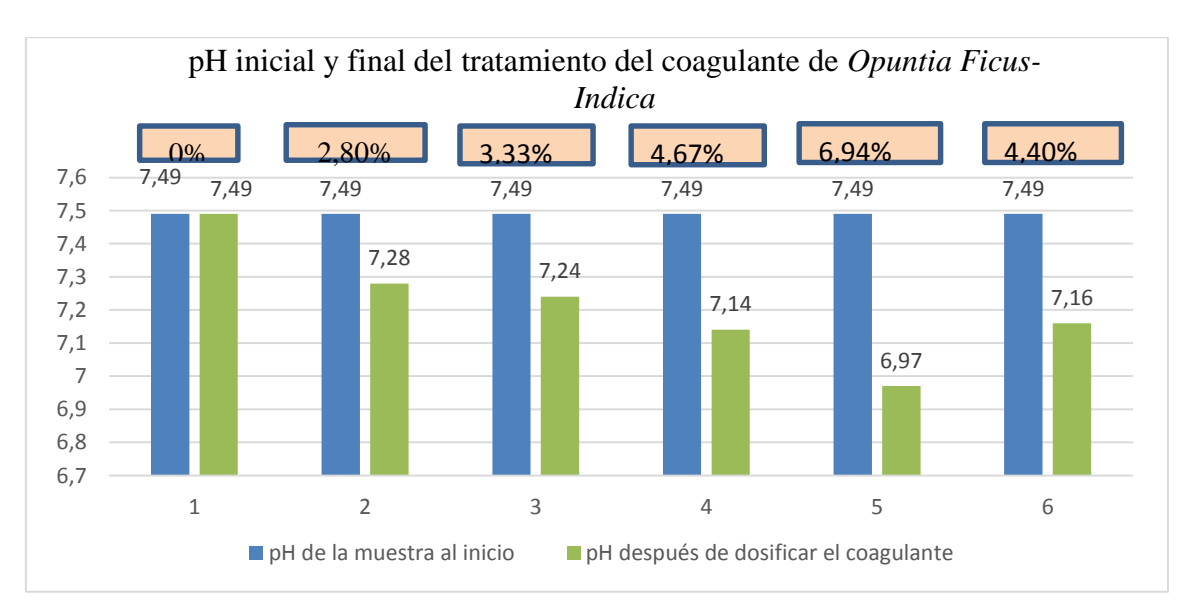
Gráfica 1 Concentración de coagulante y % remoción de color y turbiedad

4.1.1.1 pH después del tratamiento con coagulante de Opuntia Ficus-Indica

Tabla 12 Variación del pH antes y después de realizar el tratamiento con el biocoagulante de Opuntia Ficus-Indica

Muestra	pH de la muestra al inicio	pH después de dosificar el
		coagulante
1	7,49	7,49
2	7,49	7,28
3	7,49	7,24
4	7,49	7,14
5	7,49	6,97
6	7,49	7,16

Elaboración: (Atupaña & Guacho, 2018)



Gráfica 2 Comparación de la variación del pH inicial y final al añadir el coagulante de Opuntia Ficus-Indica.

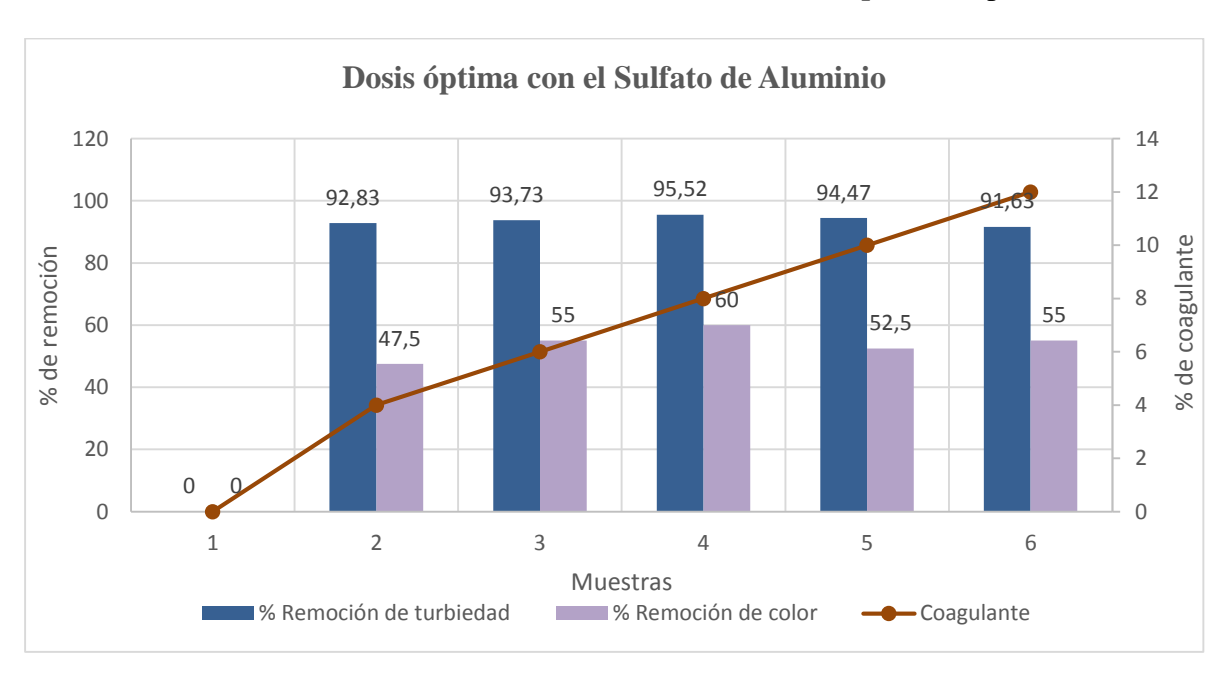
4.2 Resultados utilizado con el coagulante de Sulfato de Aluminio a las mismas dosificaciones.

Tabla 13 Dosis óptima del coagulante de Sulfato de Aluminio.

	Agua Cruda	Dosificación mg/l	Observacione	s visuales	Ag	gua sedimentada	a
	Turbiedad: 47,6 NTU Color real: 40 (Pt/Cu)	Mezcla rápida Tiempo: 1min Velocidad: 100 rpm	Volúmenes de v	asos 500 ml	Floculación Tiempo de flocs min Velocidad 3	10 min Tier	dimentación mpo de sed 15
N° de Jarras	рН	Coagulante Solución de Sulfato de Aluminio	Tiempos de formación de flocs	Índice de Willcomb	рН	Color (Pt/Cu)	Turbiedad (NTU)
1	7,49	-	-	-	7,49	40	47,6
2	7,49	4	5′25′′	2	7,21	21	3,41
3	7,49	6	4′39′′	6	7,23	18	2,98
4	7,49	8	4′09′′	10	7,08	16	2,13
5	7,49	10	3′53′′	8	7,12	19	2,63
6	7,49	12	4′39′′	6	7,13	18	3,98

Tabla 14 Porcentaje de remoción de color y turbidez del mejor test de jarras usando solo Sulfato de Aluminio

Muestra	Turbiedad	Color (Pt/Cu)	% Remoción de	% Remoción de
	(NTU)		turbiedad	color
1	47,6	40	-	-
2	3,41	21	92,83	47,5
3	2,98	18	93,73	55
4	2,13	16	95,52	60
5	2,63	19	94,47	52,5
6	3,98	18	91,63	55



Gráfica 3 Concentración de coagulante y porcentaje de remoción de color y turbidez

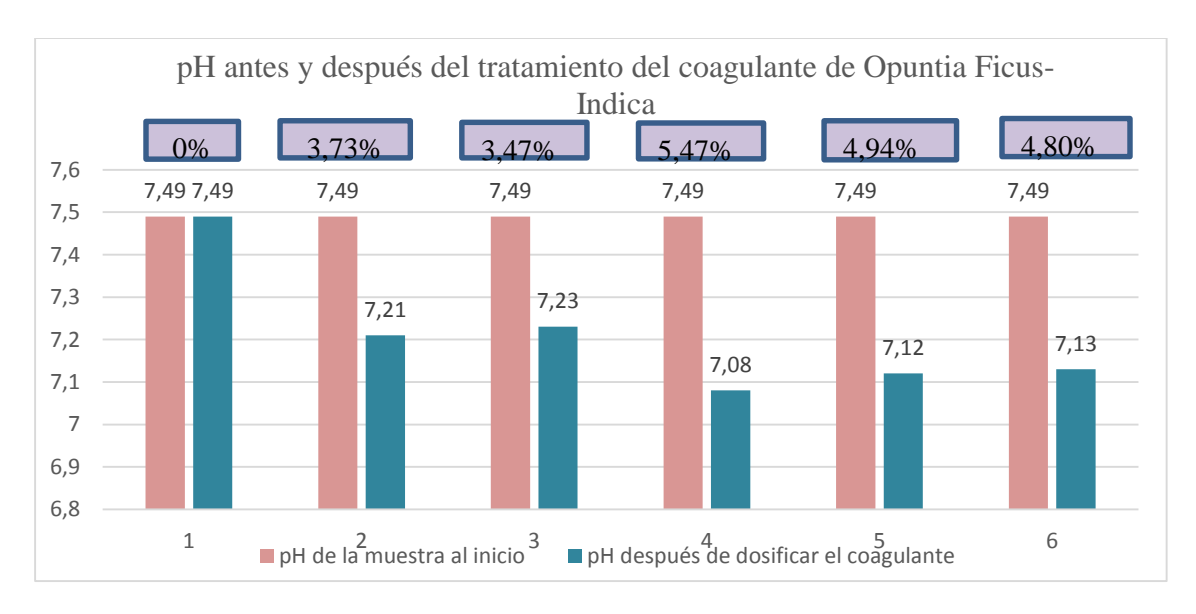
Elaborado por: (Atupaña & Guacho, 2018)

4.2.1pH después del tratamiento con coagulante de Sulfato de Aluminio

Tabla 15 Variación del pH antes y después del tratamiento del coagulante de Sulfato de Aluminio

Muestra	pH de la muestra al inicio	pH después de dosificar el
		coagulante
1	7,49	7,49
2	7,49	7,21
3	7,49	7,23
4	7,49	7,08
5	7,49	7,12
6	7,49	7,13

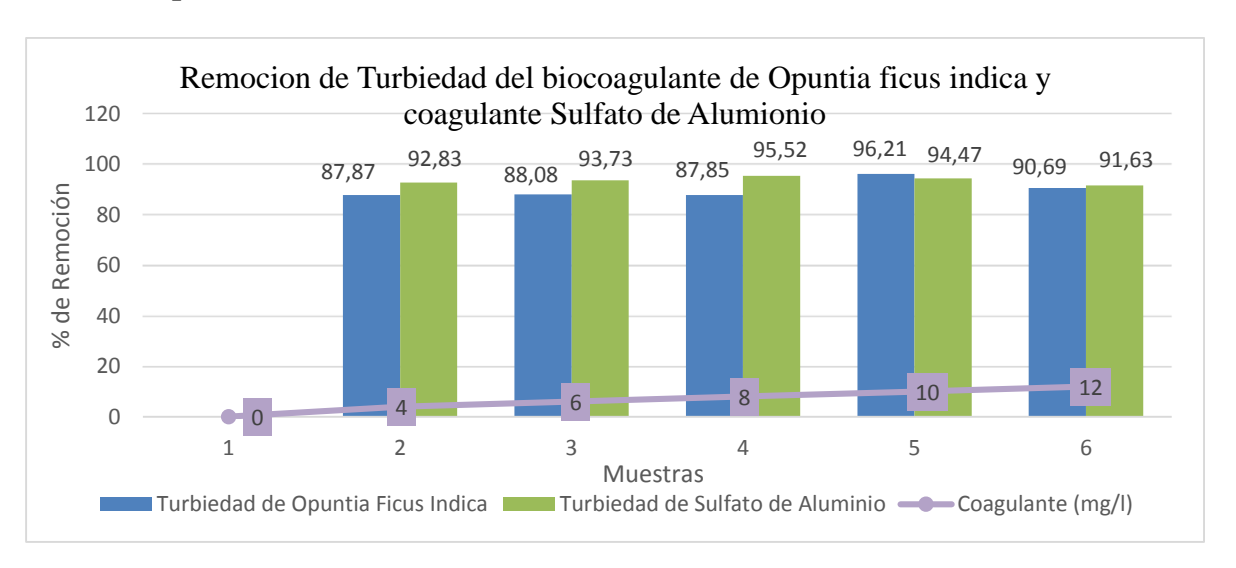
Elaborado por: (Atupaña & Guacho, 2018)



Gráfica 4 Comparación de la variación del pH antes y después de añadir el coagulante de Sulfato de Aluminio.

4.3 Comparación de la eficiencia entre el biocoagulante de *Opuntia ficus Indica* y el coagulante de sulfato de aluminio

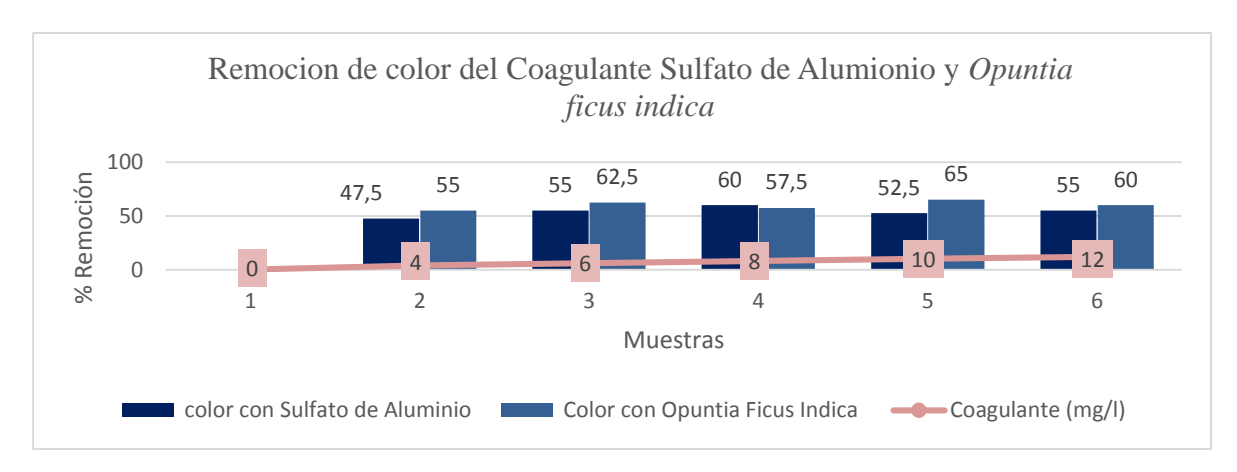
4.3.1 Comparación de la turbiedad



Gráfica 5 Comparación de remoción de turbiedad entre el sulfato de aluminio y el biocoagulante de Opuntia ficus Indica (tuna)

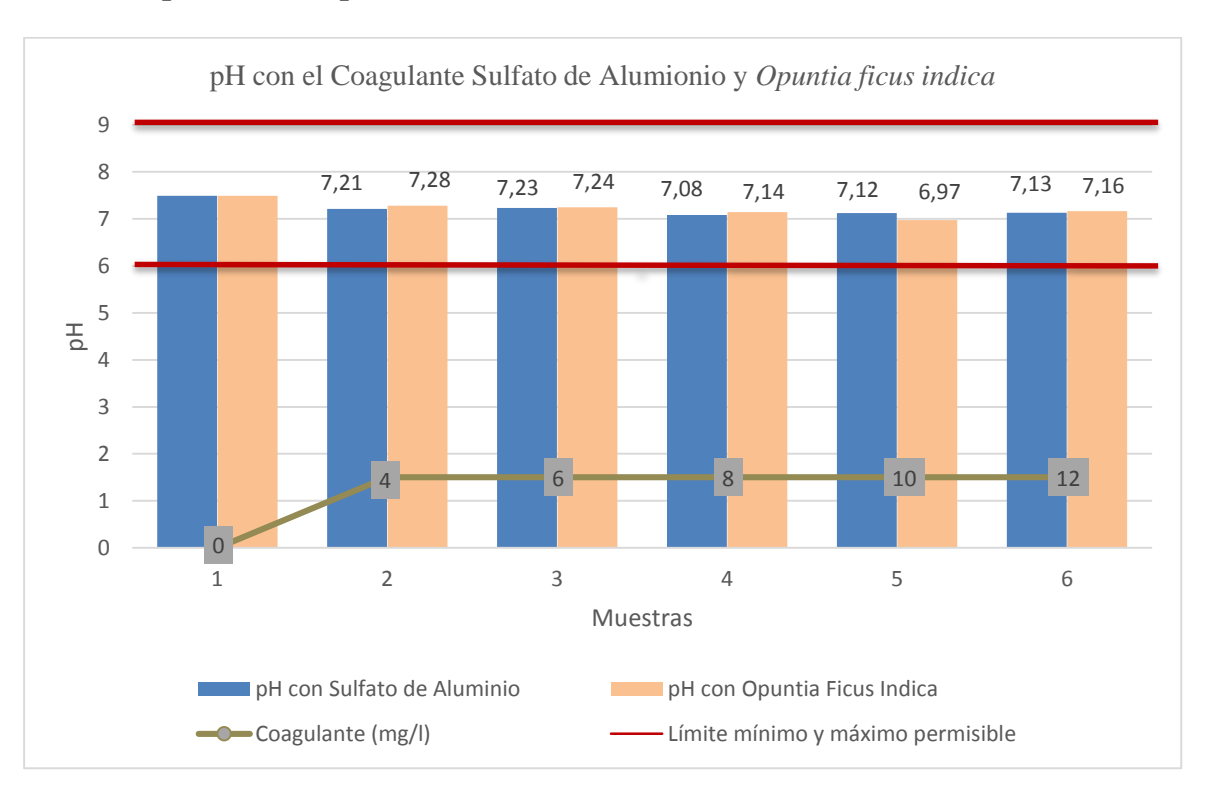
Elaborado por: (Atupaña & Guacho, 2018)

4.3.2 Comparación del color



Gráfica 6 Comparación de remoción de turbiedad entre el sulfato de aluminio y el biocoagulante de Opuntia ficus Indica (tuna)

4.3.3 Comparación del pH



Gráfica 7 Comparación de variedad de pH entre el sulfato de aluminio y el biocoagulante de

Opuntia ficus Indica (tuna)

Elaborado por: (Atupaña & Guacho, 2018)

4.4 Resultados microbiológicos

Tabla 16 Coliformes fecales en agua de río Bulubulu

Coliformes Fecales	
(NMP)	
< 3	

Tabla 17 Coliformes fecales en el agua tratada con el biocoagulante de Opuntia Ficus-Indica

Coliformes Fecales
(NMP)
< 3

Tabla 18 Coliformes totales en agua de río Bulubulu

Coliformes Totales	
(NMP)	
1100	

Elaborado por: (Atupaña & Guacho, 2018)

Tabla 19 Coliformes totales en el agua tratada con el Biocoagulante de Opuntia Ficus-Indica

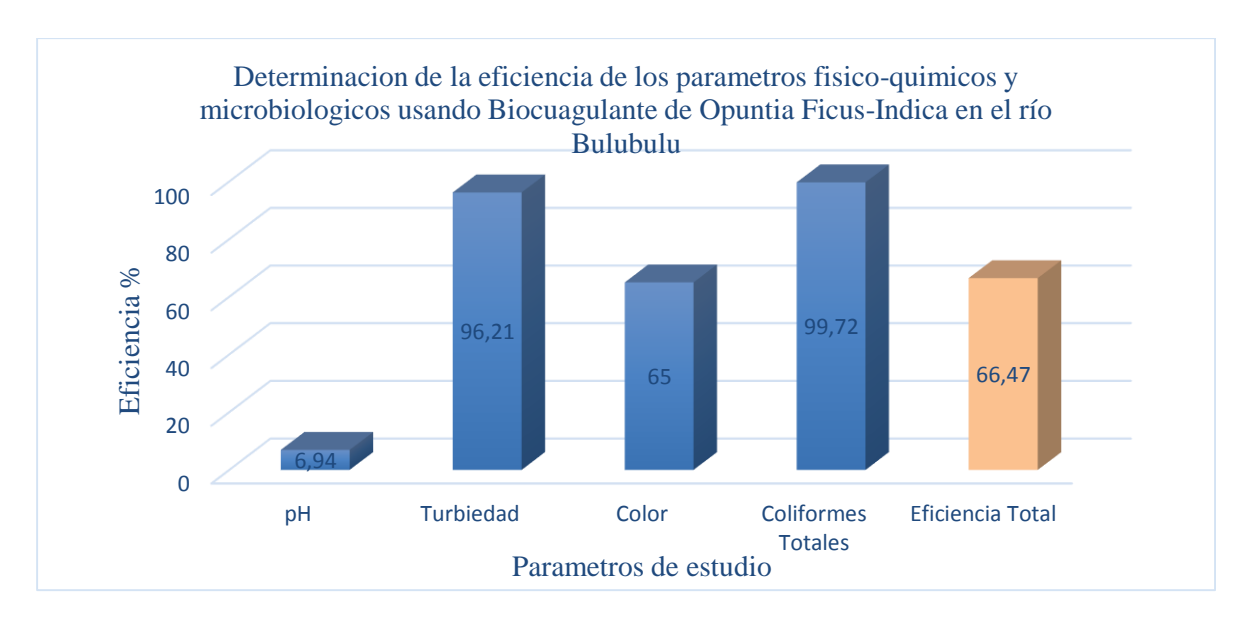
Coliformes Totales
(NMP)
<3

4.5 Eficiencia de los parámetros de estudio con el uso del biocoagulante en el río Bulubulu

Tabla 20 Determinación de la eficiencia de los parámetros físico-químicos y microbiológicos con el uso del biocoagulante en el agua del río Bulubulu.

Parámetros de Estudio	Eficiencia
	%
рН	6,94
Turbiedad	96,21
Color	65
Coliformes Totales	99.72
Eficiencia Total	66.47

Elaborado por: (Atupaña & Guacho, 2018)



Gráfica 8 Determinación de la eficiencia de los parámetros físico-químicos y microbiológicos con el uso del biocoagulante en el agua del río Bulubulu.

4.6 Análisis de Resultado

De acuerdo a la tabla 10, la dosis óptima de Biocoagulante de *Opuntia Ficus Indica* es de 9 mg/L con una remoción de color, turbiedad; obteniendo un índice Willcomb de 8 y el tiempo de formación de flocs es de 3 minutos con 53 segundos.

Al momento de utilizar el biocoagulante de *Opuntia Ficus-Indica* se alcanzó valores de 14 Pt/Cu de color y una turbiedad de 1,80 NTU dando un porcentaje de 65% y 96,21% respectivamente, como se puede observar en la tabla 11.

La tabla 12 nos muestra los valores iniciales y finales de pH, donde se obtuvieron valores que van de 6,97 a 7,49 los cuales se encuentran dentro de los límites permisibles de acuerdo a la Tabla 1 del TULSMA.

En la tabla 13 se utilizó como coagulante químico el sulfato de aluminio para realizar una comparación resultados con el biocoagulante donde se obtuvo una turbiedad, color y pH de 2,13 NTU, 16 Pt/Cu y 7,08 respectivamente.

Se observa en la tabla 14 los porcentajes que alcanza al momento de remover la turbidez y el color utilizando el coagulante de sulfato de aluminio, dando como resultado de turbiedad 95,52 % y color 60 %.

De acuerdo a la tabla 15 se utiliza el sulfato de aluminio como coagulante, obteniendo un pH de 7,08: teniendo en cuenta que no se observó ninguna alteración debido a que se encuentra en los límites establecidos.

En la gráfica 5 muestra una comparación del porcentaje de remoción de la turbiedad, tanto del biocoagulante *Opuntia Ficus-Indica*, como el sulfato de aluminio, utilizando las mismas

concentraciones, siendo el más eficiente con 10 mg/L, removiendo un 96,21% de la turbiedad, en cambio con el coagulante químico de sulfato de aluminio a la misma concentración se remueve el 94,47%.

En la gráfica 6 se observa una comparación de remoción de color entre el coagulante de sulfato de aluminio y el biocoagulante de *Opuntia ficus Indica*, ambos a las mismas concentraciones de 10 mg/L, siendo el más eficiente en remover el biocoagulante, teniendo como resultado 65% del color, con un 52,5% en la remoción utilizando el sulfato de aluminio.

En la siguiente grafica 7 nos muestra una comparación de variedad de pH entre el sulfato de aluminio y el biocoagulante de *Opuntia ficus Indica*, a las mismas concentraciones se obtuvo un pH de 6,97 con el biocoagulante y 7,12 con el sulfato de aluminio, los mismo que se encuentran en los límites de los máximos permisibles de acuerdo a la tabla 1 de TULSMA

Las tablas 16 y 17 nos muestran los análisis microbiológicos iniciales correspondientes a Coliformes fecales, donde el agua del río Bulubulu presenta un valor mínimo de < 3 NMP, mostrando ausencia de Coliformes fecales.

Las tablas 18 y 19 nos muestra los análisis microbiológicos inicial y final correspondiente a Coliformes totales, donde el agua del río Bulubulu presenta un valor inicial < 1100 NMP y el agua después de ser tratada con el coagulante natural (*Opuntia ficus*

Indica) presenta un valor de <3 NMP, mostrando ausencia de Coliformes totales.

De acuerdo a la tabla 20 se muestra la determinación de la eficiencia de los parámetros físicosquímicos y microbiológicos con el uso de biocoagulante en el agua del rio Bulubulu teniendo una eficiencia total de 66,47%. En la gráfica 8 se observa la eficiencia del biocoagulante en el agua del rio Bulubulu mostrando los siguientes porcentajes de remoción de los parámetros analizados de pH 6,94%, turbiedad 96,21%, color 65%, Coliformes totales 99,72%.

5. CAPÍTULO V

5.1 Conclusiones

- Se logró una buena eficiencia en los distintos parámetros al utilizar el biocoagulante de la tuna (Opuntia ficus indica) así: en el contenido de Coliformes totales con una remoción de 99,72%; turbiedad de 96,21% y con un color de 65%, manteniendo el pH dentro de los rangos de los máximos permisibles, lo que demuestra que el biocoagulante, si es eficiente en este tipo de tratamiento.
- Los parámetros iniciales físico químico de la muestra tomada del río BuluBulu dieron como resultados 47,6 NTU de Turbiedad, 40 Pt/Cu de Color y un pH de 7,49; y lo microbiológicos como los Coliformes fecales y totales se obtuvo como resultado <3NMP/100 ml y 1100NMP/100 ml respectivamente.
- En la obtención del biocoagulante de tuna (*Opuntia Ficus-Indica*), se procedió a realizar las operaciones respectivas, utilizando 8 pencas con un peso total de 14 kg, y un residuo de cascara de 2,5 kg, al momento de realizar el respectivo corte, secado, molienda, tamizado se obtuvo un 0,60 kg del polvo como biocoagulante, realizando una extracción solido-líquido para extraer la coloración, por el método Soxhlet utilizando etanol al 96% GL, y para eliminación del residuo del etanol se realizó un secado a una temperatura de 60°C.
- Se realizó 4 pruebas experimentales para determinar la concentración optima del Biocoagulante a partir de *Opuntia Ficus-Indica* para tratar el agua del río Bulubulu, la cual

fue de 10 mg/L, obteniendo como resultado una turbiedad 1.80 NTU, color real 14 Pt/Cu y con un pH 6,97 lo cual se encuentra dentro de lo establecido en la Normas INEN 1108 requisito que debe cumplir el agua potable.

➤ La eficiencia total del biocoagulante de *Opuntia Ficus-Indica* para el tratamiento del agua del río Bulubulu es de 66,47%, de acuerdo a los parámetros utilizados.

5.2 Recomendaciones

- Al momento de la recolección y limpieza de las pencas de tuna, se debe utilizar equipo de protección personal, evitando así accidentes, debido a que contiene gran cantidad de espinas.
- Evitar utilizar pencas de tuna que tenga un alto grado de maduración debido a que afectara en la obtención del coagulante.
- Buscar otro método de secado de la penca del *Opuntia Ficus-Indica* que permita disminuir el consumo de energía y el tiempo, aumentando eficazmente el rendimiento en la obtención del biocoagulante.
- Fomentar nuevas investigaciones para realizar floculantes naturales ya que esto ayuda a un mayor concentrado de sedimentos en el tratamiento de aguas.
- Realizar los respectivos análisis acerca del componente antimicrobiano que presenta la tuna (*Opuntia Ficus-Indica*) y la aplicación como una nueva alternativa al momento de realizar la cloración en el tratamiento de potabilización de agua.

5.3 Abreviatura

Cm Centímetro

INEN Servicio Ecuatoriano de Normalización

NTU Unidad Nefelométrica de Turbidez

ml/L Miligramo por litro

ml Miligramo

m Metro

mm Milímetro

pH Potencial de Hidrogeno

ppm Parte por millón

Rpm Revoluciones por minuto

UPC Unidades de Platino y Cobalto

5.4 Bibliografía

- Martínez, J., & González, L. (2012). Evaluación del poder coagulante de la tuna (Opuntia Ficus-Indica) para la remoción de turbidez y color en aguas crudas. Universidad de Cartagena, pp. 51.
- ➤ Abi-Faical, A. (2010). Aplicación de membrana de nanofiltración para eliminar disruptores endocrinos en la potabilizacion de agua. (U. P. Catalunya, Ed.) Barcelona. Obtenido de https://upcommons.upc.edu/handle/2117/94167
- ➤ Alcázar , D. (2015). Aplicación de un coagulante natural obtenido a partir de la penca de tuna (Opuntia Ficus Indica) para la mejora de la calidad en aguas de consumo en la localidad de Achocalla. pp: 22-25.
- Andía, Y. (2000). Tratamiento de Agua: Coagulación y Floculación. *SEDAPAL*, 16-19.

 Obtenido de http://www.sedapal.com.pe/c/document_library/get_file?uuid=2792d3e3-59b7-4b9e-ae55-56209841d9b8&groupId=10154
- Arboleda, J. (2000). Teoría, Diseño y Control de los Procesos de Clarificación del Agua (Vol. 13). Lima: Departamento de Ingeniería y Ciencias del ambiente. Obtenido de https://www.ircwash.org/node/60513
- Atupaña, F. G., & Guacho, J. A. (12 de Noviembre de 2018). Guayaquil, Guayas, Ecuador.
- ➤ Banchón, C., Baquerizo, R., Muñoz, D., & Zambrano, L. (2016). Coagulación natural para la descontaminación de efluentes industriales. *Enfoque UTE*, pág: 114.
- ➤ Barrenechea, A., & Aurazo, M. (2004). *Tratamiento de agua para consumo humano*. Lima: Organizacion Panamerixasa de la Salud. Obtenido de http://www.bvsde.paho.org

- ➢ Billabona, Á., Paz, I., & Martínez, J. (2013). Caracterización de la Opuntia ficus-indica para su uso como coagulante natural. Revista Colombiana de Biotecnología. Obtenido de https://revistas.unal.edu.co/index.php/biotecnologia/article/view/32768/41988
- ➤ Biodiversitas. (2006). Tuna: Producción y diversidad. pp:68.
- ➤ Bravo, M. (2017). Coagulantes y floculantes naturales usados en la reducción de turbidez, sólidos suspendidos, colorantes y metales pesados en aguas residuales. Bogotá: Universidad Distrital Francisco José De Caldas.
- ➤ Cañas , D. (2015). Propuesta de un sistema de costeo por procesos para el tratamiento de agua cruda en la planta Bellavista de la Empresa pública Metropolitana de Agua Potable y Saneamiento EPMAPS. Obtenido de http://repositorio.puce.edu.ec/handle/22000/10015
- Chavez, S. (2018). Evaluación de la acción coagulante de la semilla de durazno y tallo de nopal: aclaración de aguas turbias. pp: 7-8.
- ➤ Cuacés , M. G. (2013). Máquina desespinadora de tunas para la variedad amarilla o de castilla (Opuntia Ficus Indica (L)). pp: 32 38.
- ➤ Domínguez Amorocho, M. F. (2010). Optimizacion de Coagulacion-Floculacion en la Planta de Tratamiento de Agua Potable de la Sede Recreacional Compoalegre-Cajansan.

 Bucaramanga, Colombia: Cajasan.
- El Comercio. (15 de Octubre de 2011). La tuna cuatro variedades se producen en el país. págs. https://www.elcomercio.com/actualidad/negocios/tuna-cuatro-variedades-se-producen.html.
- Escobar, J. A. (06 de Abril de 2018). *Escuela Politécnica Superior de Chimborazo*.

 Obtenido de http://dspace.espoch.edu.ec
- FUNDESYRAM. (2015). Fundacion Para el Desarrollo Socioeconómica y Restauración Ambiental. Obtenido de http://www.fundesyram.info/biblioteca.php?id=2665

- ➤ Google Maps . (2018). *Geografia del Rio Bulubulu* . Obtenido de https://tierra.tutiempo.net/ecuador/rio-bulubulu-ec001324.html
- ➢ Google Maps. (Noviembre de 2018). Facultad de Ingenieria Quimica . Obtenido de https://www.google.com.ec/maps/place/Facultad+de+Ingenier%C3%ADa+Qu%C3%AD mica+Universidad+de+Guayaquil/@-2.1826117,-79.8992985,16.17z/data=!4m6!3m5!1s0x902d6de7a9edb003:0x119fa42e0ed501c7!4b1!8 m2!3d-2.1819132!4d-79.8992794
- ➤ Goyenola , G. (Junio de 2007). Transparencia, color y turbidez. Red de Monitoreo Ambiental Participativo de Sistemas Acuáticos , pp: 3.
- ➤ Inglese, P., Mondragon, C., Nefzaoui, A., & Sáenz, C. (2016). Ecologia del Cultivo Manejo y Usos del Nopal. *ICARDA*, 35 40.
- inocuidad, Laboratorio de análisis químico y microbiológico de alimentos subsecretaria de calidad e. (2018). Ministerio de Acuacultura y Pesca. Guayaquil.
- ➤ Jiménez, E. E. (2014). Obtención del mucílago de la cáscara de la tuna (Opuntia Ficus-Indica). Departamento de Ciencia de los Alimentos y Tecnología Química, pp: 11-28.
- ➤ JPV Cosultores. (2014). Informe de Auditoría. Guayaquil. Obtenido de https://www.interagua.com.ec/sites/default/files/iag-ia-a13-003a__evolucion_de_insumos_quimicos_0.pdf
- Laboratorio de Aguas Acreditado de la Facultad de Ingeniería Química. (2018).
- Laboratorio de análisis químico y microbiológico de alimentos. (2018-2019). Ministerio de Acuacultura y Pesca.
- Méndez, A. (11 de Enero de 2011). Turbidez.

- Morejón, B. J. (2017). Utilización del mucílago de tuna (Opuntia Ficus-Indica) en el mejoramiento de la calidad del agua de consumo humano, en la comunidad de Pusir grande, provincia del Carchi. *Universidad Técnica Del Norte*, pág: 20 25.
- ➤ NTE INEN 1108. (2014). AGUA POTABLE. REQUISITOS. NORMA TÉCNICA ECUATORIANA, http://www.pudeleco.com/files/a16057d.pdf.
- NTE INEN 2 169:98. (s.f.). "AGUA. CALIDAD DEL AGUA. MUESTREO. MANEJO Y CONSERVACIÓN DE MUESTRAS.". NORMA TÉCNICA ECUATORIANA, Pág: 10 -20.
- ➤ Ojeda Báez, L. F. (2012). *Universidad Politécnica Salesiana De Quito*. Obtenido de https://studylib.es/doc/7707763/universidad-polit%C3%A9cnica-salesiana-sede-quito
- ➤ Ojeda, L. F. (2012). Determinación de la eficiencia de las caracteristicas coagulantes y floculantes del tropaeolum tuberosum, en el tratamiento de agua cruda. pp: 4.
- ➤ Olivero, R., Mercado, I., Casas, D., & Montes, L. (2014). Utilización de Tuna (opuntia ficus-indica) como coagulante natural en la clarificación de aguas crudas. *Unilibre*, 70-73.
- Paucara, C. M. (2017). Caracterización física y química de la tuna (Opuntia ficus-indica) en el Municipio de Luribay Provincia Loayza del Departamento de la Paz. La Paz Bolivia.
- ➤ Robles, A. (2009). Cultivo de Tuna. *Gerencia Regional Agraria La Libertad*, pp. 6-8. Obtenido de https://docplayer.es/2153108-Gerencia-regional-agraria-la-libertad-opuntia-ficus-indica.html
- ➤ Rosillo, C. K. (2016). Estudio de los principios bioactivos y obtención de colorantes naturales de la cáscara de Opuntia ficus indica (L.) Miller "tuna". *UNIVERSIDAD NACIONAL MAYOR DE SAN MARCOS*, 6-8. Obtenido de https://docplayer.es/2153108-Gerencia-regional-agraria-la-libertad-opuntia-ficus-indica.html

- Samboni, N. E., Carvajal, Y., & Escobar, J. C. (2015). Revisión de parametros fisicoquímicos como indicadores de calidad y contaminación del agua. *Ingeníeria de Invetigación*.
- ➤ Severiche, C. A., Castillo, M. E., & Acevedo, R. L. (2013). Manual de Métodos Analíticos para la Determinación de Parámetros Fisicoquímicos Básicos en Aguas.
- ➤ Solís, R., Laines, J., & Hernández, R. (2012). Mezcla con potencial coagulante para clarificar aguas superficiales. *Scielo*, 230. Obtenido de http://www.scielo.org/php/index.php
- ➤ Valenzuela, C. (2014). Dureza del agua . En *Revisión Bibliografica* (pág. pp: 56).
- ➤ Vallejo, E., & Zapata, K. (2014). Estudio comparativo de la reprogramación del proyecto control de inundaciones del río Bulubulu Cañar utilizando métodos estocásticos y software de programación de obras. pp: 80-86.
- Vilanova, R., Santín, I., & Pedret, C. (2017). Control y Operación de Estaciones Depuradoras de Aguas Residuales. Revista Iberoamericana de Automática e Informática Industrial, pp. 217-233.
- Villabona Ortiz, A., Paz Astudillo, I. C., & Martínez García, J. (2013). Characterization of Opuntia ficus-indica for using as a natural coagulant. Revista Colombiana de Biotecnologia, vol. 15 pp: 137-144.

5.5 Anexos

Anexo A: Selección de dosis óptima del coagulante de las pecas de tuna (Opuntia Ficus Indica).

Tabla 21 Resultados en busca de la dosis óptima de biocoagulante de las pecas de tuna (Opuntia Ficus Indica). (Primer test de jarras)

	Agua Cruda	Dosificación mg/l	Observacione	s visuales	Ag	gua sedimentad	a
	Turbiedad: 47.6 NTU	Mezcla rápida	Volúmenes de v	asos 500 ml	Floculación		dimentación
	Color real: 40 (Pt/Cu)	Tiempo: 1min Velocidad: 100 rpm			Tiempo de flocs min Velocidad 3		mpo de sed 15
N° de	рН	Coagulante Solución de <i>Opuntia</i>	Tiempos de formación de	Índice de Willcomb	рН	Color (Pt/Cu)	Turbiedad
Jarras		Ficus Indica	flocs			(= 3, - 3, -)	(NTU)
1	7,49	-	-	-	7,49	40	47.6
2	7,49	40	3′05′′	6	7,28	18	15,77
3	7,49	80	5′39′′	4	7,29	20	25,67
4	7,49	120	5′10′′	4	7,34	23	31.35
5	7,49	160	5′50′′	2	7,47	29	35,50
6	7,49	200	6′15′′	2	7,76	38	39,10

Tabla 22 Porcentaje de remoción de turbiedad y color del primer test de jarras con el biocoagulante de Opuntia Ficus Indica

Muestra	Turbiedad	Color (Pt/Cu)	% Remoción de	% remoción de
	(NTU)		turbiedad	color
1	47.6	40	-	-
2	15,77	18	68,87	55
3	25,67	21	46,07	47,5
4	31.35	23	34,14	42,5
5	35,50	29	25,42	27,5
6	39,10	35	17,84	12,5

Tabla 23 Resultados en busca de la dosis óptima de biocoagulante de las pecas de tuna (Opuntia Ficus Indica). (Segundo test de jarras)

	Agua Cruda	Dosificación mg/l	Observacione	s visuales	Aş	gua sedimentad	da
	Turbiedad: 47.6 NTU Color real: 40 (Pt/Cu)	Mezcla rápida Tiempo: 1min Velocidad: 100 rpm	Volúmenes de v	asos 500 ml	Floculación Tiempo de flocs min Velocidad 3	10 min Tie	edimentación empo de sed 15
N° de Jarras	рН	Coagulante Solución de <i>Opuntia</i> Ficus Indica	Tiempos de formación de flocs	Índice de Willcomb	рН	Color (Pt/Cu)	Turbiedad (NTU)
1	7,49	-	-	-	7,49	40	47,6
2	7,49	5	5′40′′	6	7,30	19	5,81
3	7,49	10	4′39′′	8	7,01	15	2,07
4	7,49	15	5′10′′	4	7,40	20	3.35
5	7,49	20	6′10′′	2	7,37	23	7,30
6	7,49	25	6′50′′	2	7,25	29	8,10

Tabla 24 Porcentaje de remoción de turbiedad y color del primer test de jarras con el biocoagulante de Opuntia Ficus Indica

Muestra	Turbiedad	Color (Pt/Cu)	% Remoción de	% remoción de
	(NTU)		turbiedad	color
1	47,6	40	-	-
2	5,81	19	87.79	52,5
3	2,07	15	95,65	62,5
4	3.35	20	92.96	50
5	7,30	23	84,66	42,5
6	8,10	29	82,98	27,5

Anexos B fotografías

Fotografía 2 Selección de pencas



Fotografía 3 Pelado de pencas



Fuente: (Atupaña & Guacho, 2018)

Fuente: (Atupaña & Guacho, 2018)

Fotografía 4 Cortado de penca Fotografía 5 Secado de penca



Fuente: (Atupaña & Guacho, 2018)



Fotografía 6 Molienda Fotografía

7 Tamizado de la penca





Fuente: (Atupaña & Guacho, 2018)

Fuente: (Atupaña & Guacho, 2018)

Fotografía 8 Extracción de la pigmentación

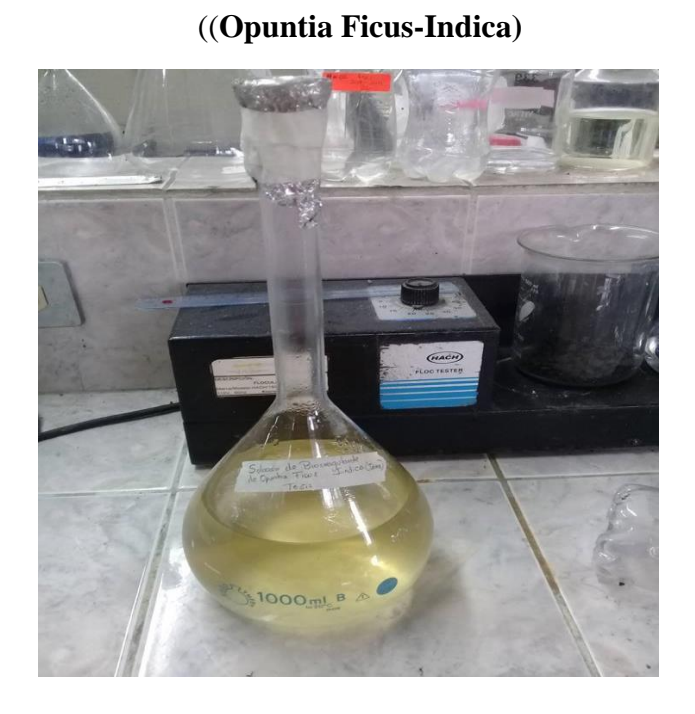
Fotografía 9 Coagulante de penca





Fuente: (Atupaña & Guacho, 2018)

Fotografía 10 Solución madre



Fotografía 11 Turbidímetro HACH 2100P



Fuente: (Atupaña & Guacho, 2018)

Fotografía 12 Colorímetro HACH 890



Fuente: (Atupaña & Guacho, 2018)

Fotografía 13 pH metro



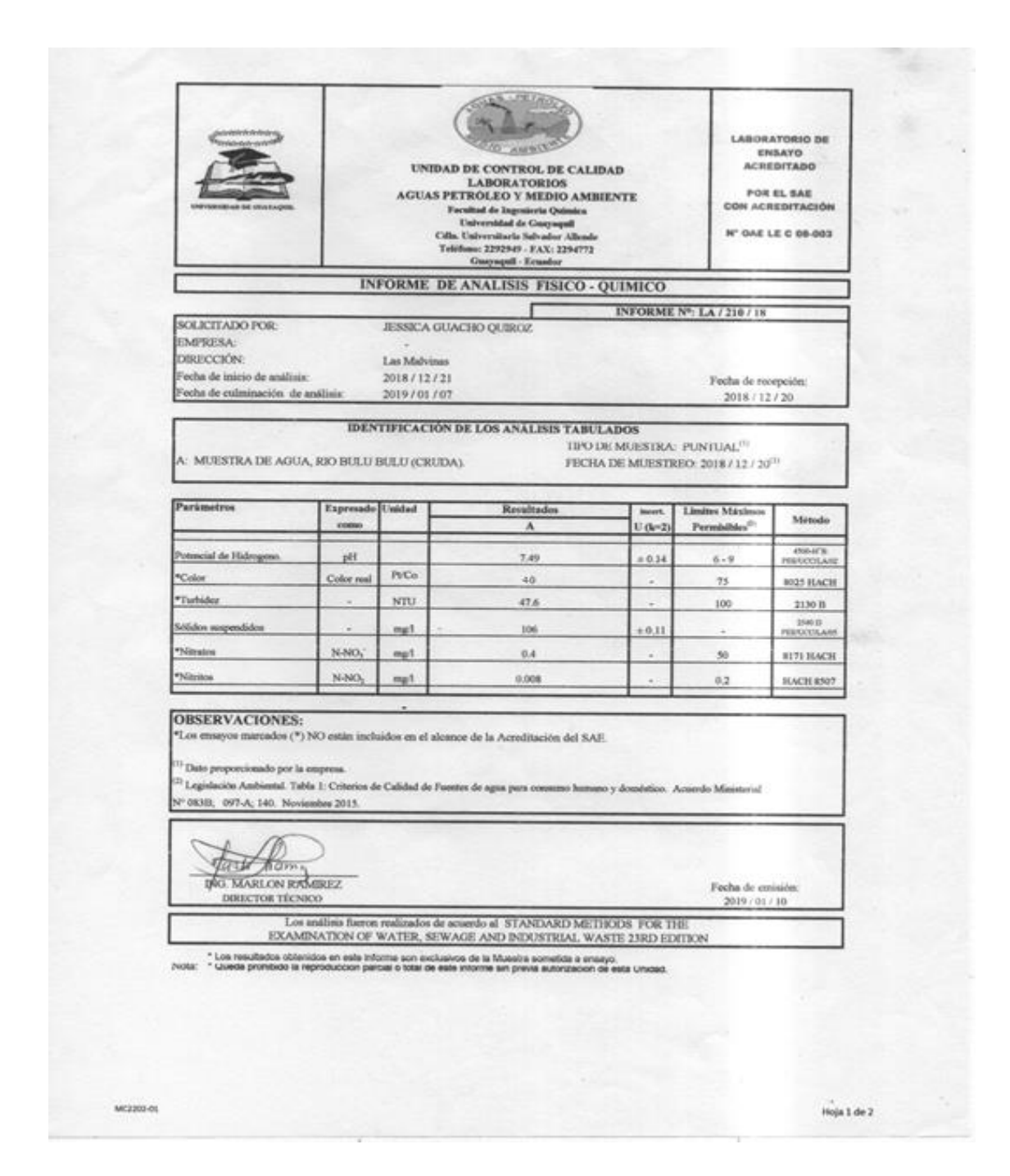
Fuente: (Atupaña & Guacho, 2018)

Fotografía 14 Agua de río antes y después del tratamiento con el coagulante Opuntia Ficus-Indica



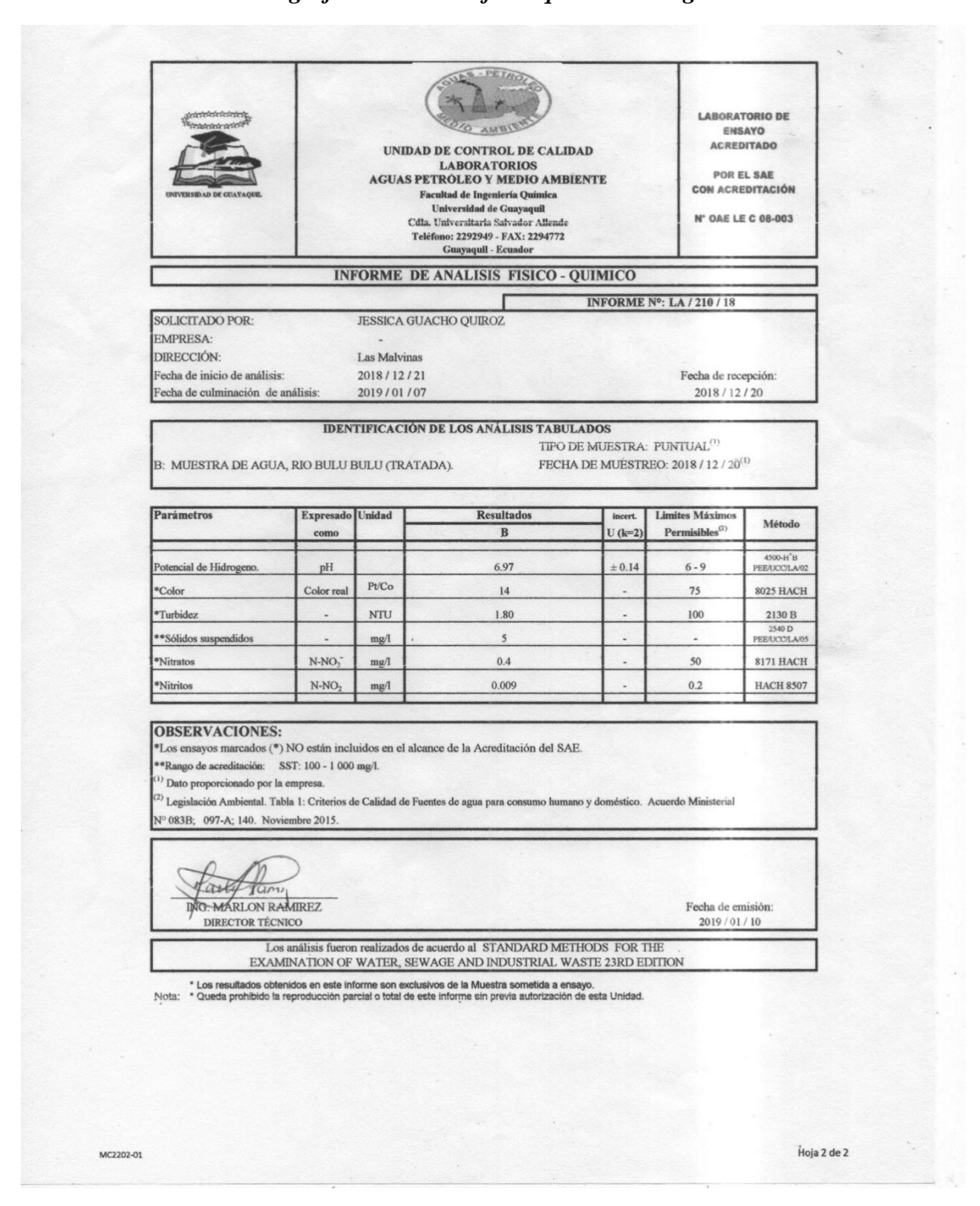
Fotografía 15 Formación de Floc al añadir el coagulante

Fotografía 16 Análisis fisicoquímico de la muestra inicial



Fuente: (Laboratorio de Aguas Acreditado de la Facultad de Ingeniería Química, 2018)

Fotografía 17 Análisis fisicoquímico del agua tratada



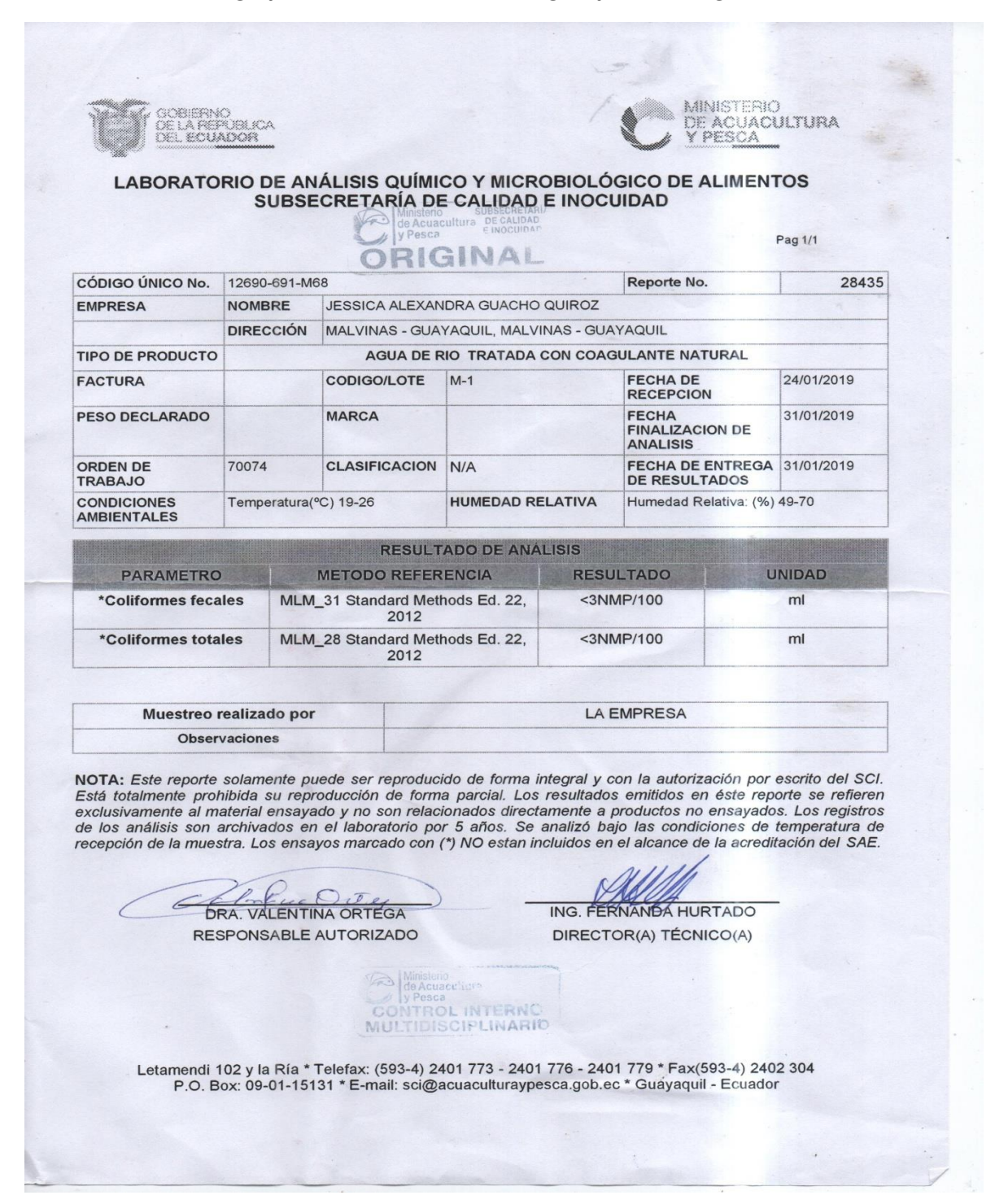
Fuente: (Laboratorio de Aguas Acreditado de la Facultad de Ingeniería Química, 2018)

Fotografía 18 Análisis microbiológico inicial del agua de río

DE LA REDEL ECU	RIO DE AI	NÁLISIS QUÍMI ECRETARÍA DE	CALIDAD E	INOCL	GICO DE ALIMEN	тоѕ
		ő	Ministerio sue: de Acuacultura de y Pesca E II	CALIDAD IOCUIDAD		Pag 1/1
CÓDIGO ÚNICO No.	12690-1-M1		- FF - 4 B B M	AL	Reporte No.	27452
EMPRESA	NOMBRE	JESSICA ALEXAN	IDRA GUACHO	QUIROZ		
	DIRECCIÓN	MALVINAS - GUA	YAQUIL, MALVIN	IAS - GUA	YAQUIL	
TIPO DE PRODUCTO			AGUA	DE RIO		
FACTURA		CODIGO/LOTE	M-1		FECHA DE RECEPCION	05/12/2018
PESO DECLARADO		MARCA			FECHA FINALIZACION DE ANALISIS	11/12/2018
ORDEN DE TRABAJO	56684	CLASIFICACION	N/A		FECHA DE ENTREGA DE RESULTADOS	11/12/2018
CONDICIONES AMBIENTALES	Temperatura	o(°C) 19-26	HUMEDAD RE	LATIVA	Humedad Relativa: (%)	49-70
		RESULT	ADO DE ANÁL	ISIS		
PARAMETRO	0	METODO REFER	RENCIA	RESL	JLTADO l	JNIDAD
*Coliformes fec	ales MLI	M_31 Standard Met	thods Ed. 22,	<3NI	MP/100	ml
		2012			IMPUGO	ml
*Coliformes tota	ales MLI	VI_28 Standard Mei 2012			MP/100	1111
Muestreo	realizado po	r		LA	EMPRESA	
Obse	rvaciones					
Está totalmente pro exclusivamente al n de los análisis son recepción de la mue	phibida su rep naterial ensay archivados e estra. Los ens DRA. SULI	producción de form vado y no son relacion en el laboratorio por rayos marcado como la you	na parcial. Los cionados directa or 5 años. Se a pendo estan in	resultado imente a analizó ba cluidos er IO ING. FÉI	con la autorización por s emitidos en éste rej productos no ensayad ajo las condiciones de n el alcance de la acrec RNANDA-HURTADO OR(A) TÉCNICO(A)	oorte se retieren os. Los registros temperatura de
Letamendi	102 y la Ría	* Telefax: (593-4) 2	2401 773 - 2401	776 - 240 sca gob.e	01 779 * Fax(593-4) 24 ec * Guayaquil - Ecuado	02 304 or

Fuente: (Laboratorio de análisis químico y microbiológico de alimentos, 2018-2019)

Fotografía 19 Análisis microbiológico final del agua de río



Fuente: (Laboratorio de análisis químico y microbiológico de alimentos, 2018-2019)